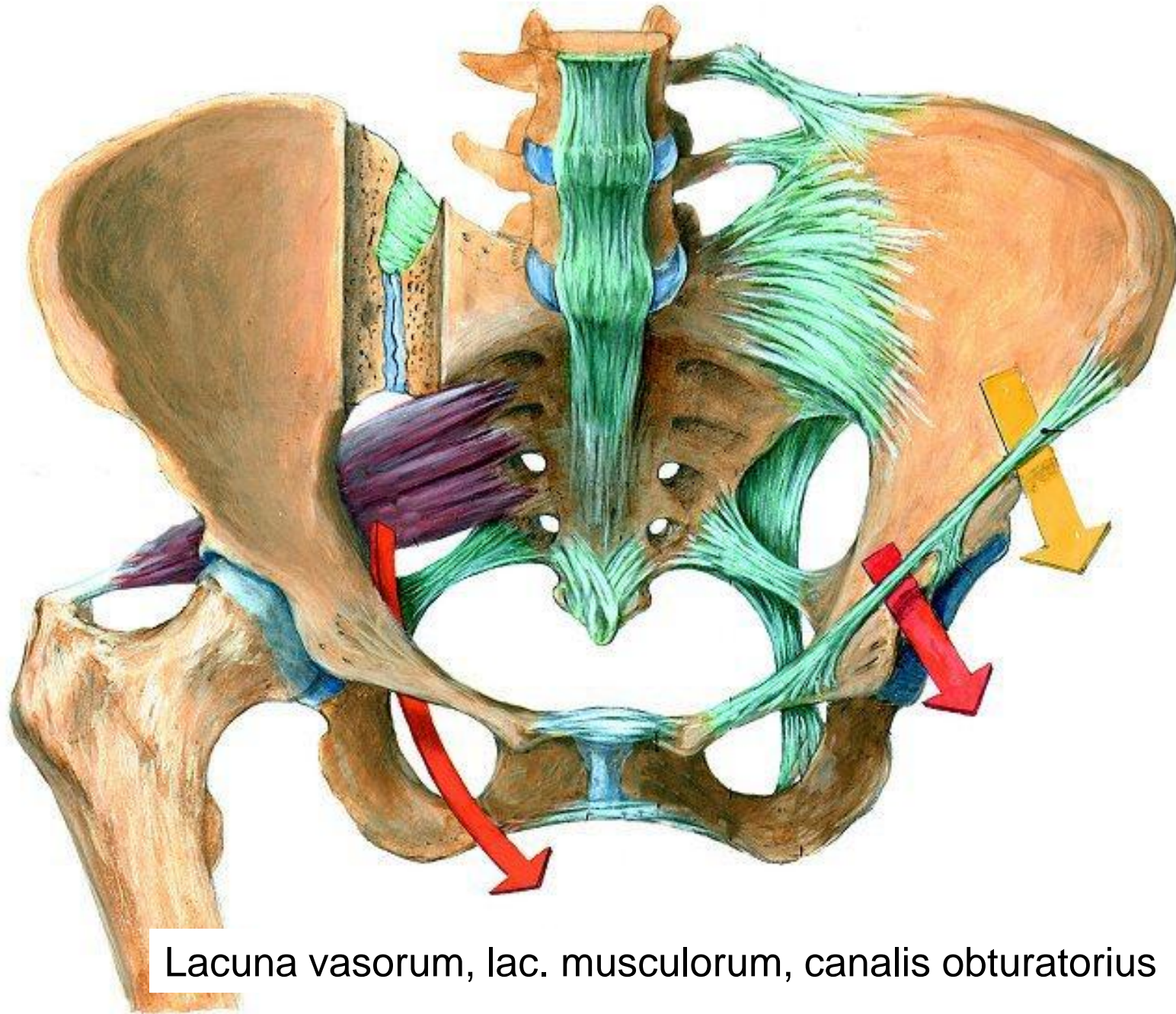


Diaphragma pelvis, diaphragma urogenitale mm. perinei, retroperitoneum

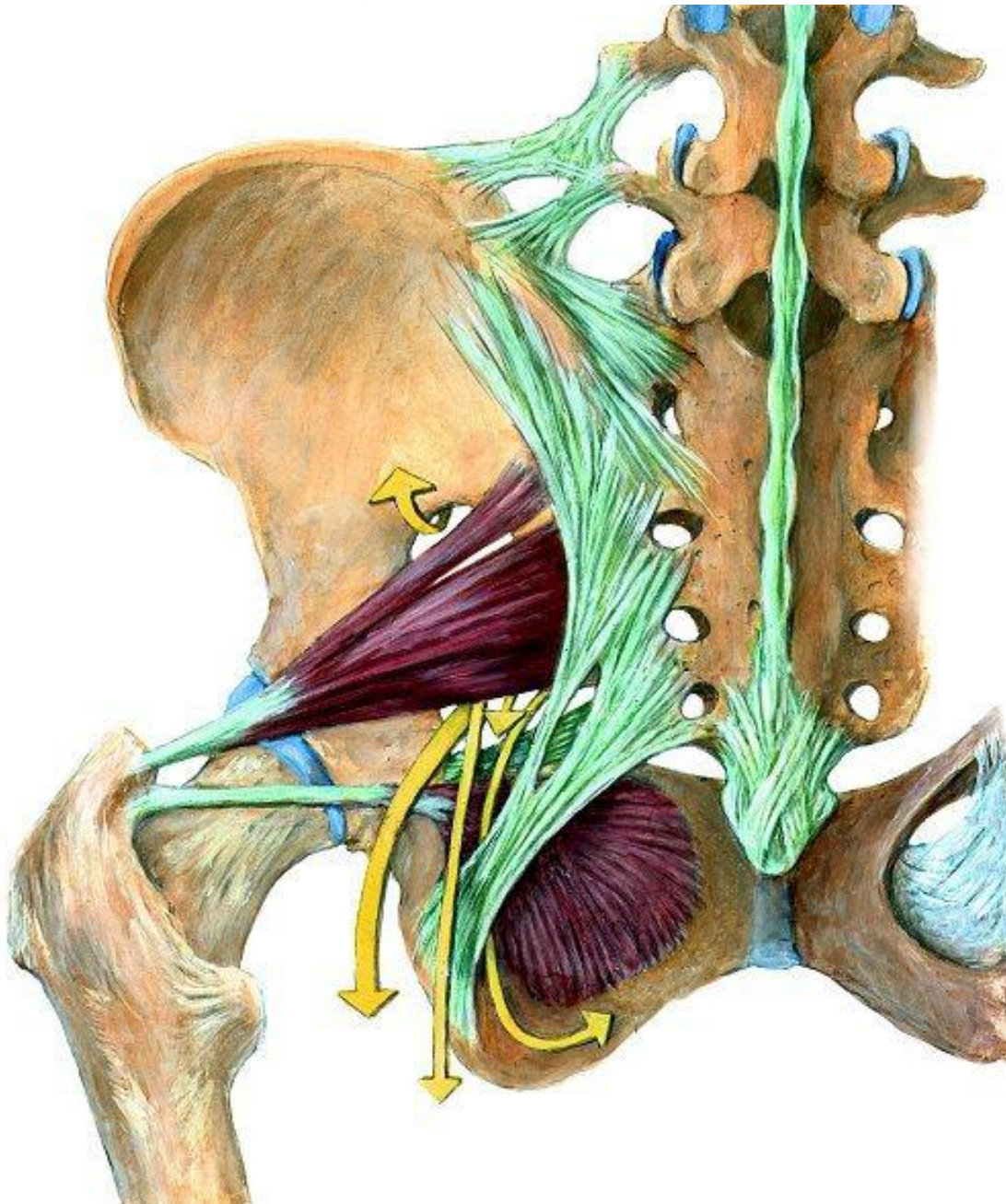


Petr Valášek & Miloš Grim
Anatomický ústav 1. lékařské fakulty
Univerzita Karlova
přednáška pro posluchače všeobecného a zubního lékařství
2021-2022



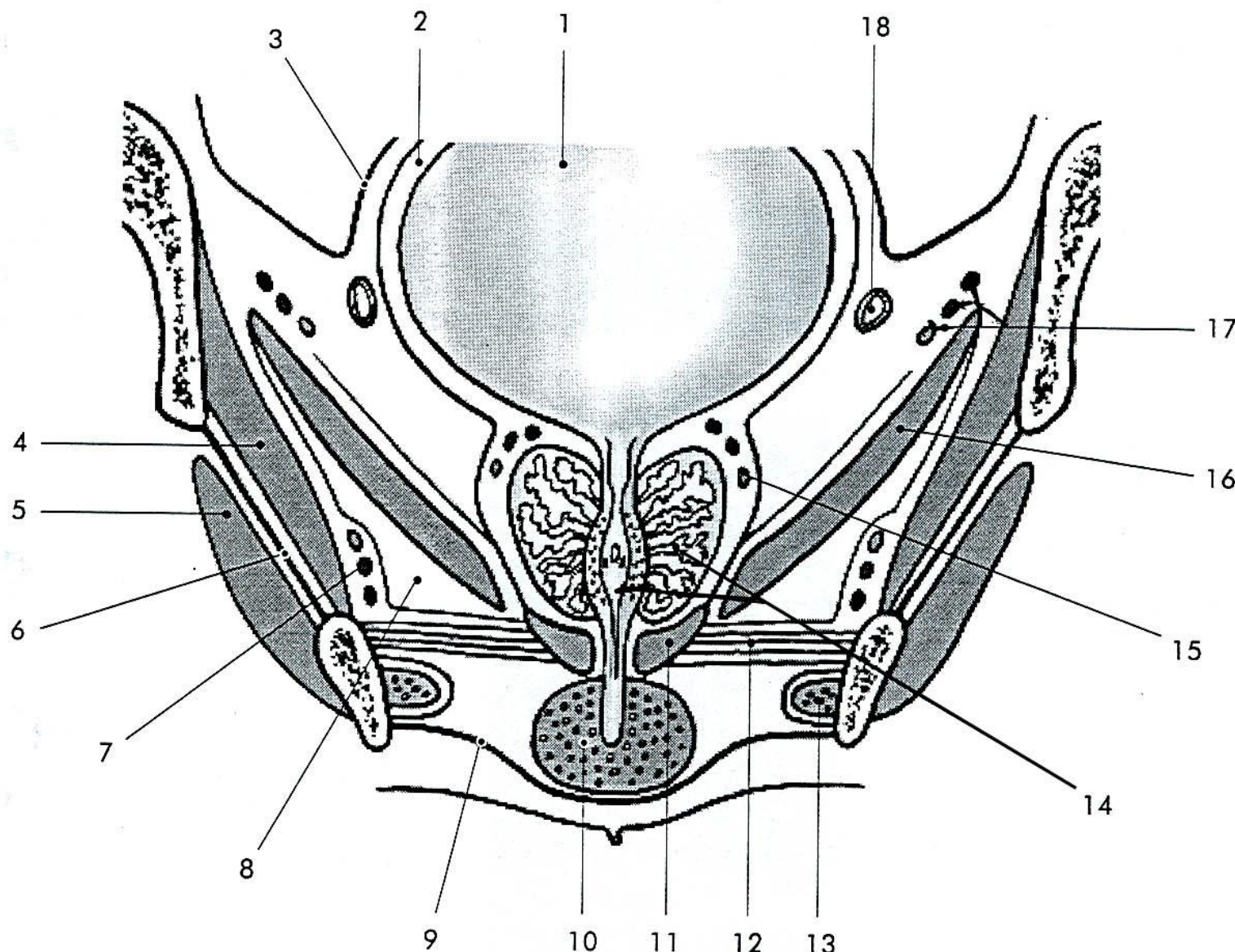
Lacuna vasorum, lac. musculorum, canalis obturatorius

Foramen supra- a infrapiriforme



Pánevní dno

1. Diaphragma pelvis
2. Diaphragma urogenitale
3. Mm. perinei



Obr. 8.34. Frontální řez pávní v úrovni prostaty. 1 – močový měchýř, 2 – paracystium, 3 – peritoneum, 4 – m. obturatorius internus, 5 – m. obturatorius externus, 6 – membrana obturatoria, 7 – Alcockův kanál a v něm vasa pudenda interna a n. pudendus, 8 – fossa ischioanalis, 9 – fascia perinei superficialis, 10 – bulbus corporis spongiosi urethrae, 11 – m. sphincter urethrae externus, 12 – diaphragma urogenitale, 13 – crus penis, 14 – prostata a pars prostatica urethrae, 15 – plexus venosus prostatis, 16 – m. levator ani, 17 – n. a vasa obturatoria, 18 – ductus deferens

Pánevní dno

Inervace

1. Diaphragma pelvis

levator ani (pubovaginalis/puborectalis) + **coccygeus** sakrální větve

(2. Diaphragma urogenitale)

(**transversus perinei superficialis** +
profundus)

3. Svaly hráze

sphincter ani externus

sphincter urethrae externus

+ urethrovaginal sphincter
+ urethral compressor

ischiocavernosus

bulbospongiosus

arcus tendineus m. l.a.

pelvic fascia

centrum tendineum perinei

n. pudendus

(Alcock)

Onufovo jádro

S2 a S3

1. Diaphragma pelvis

Pelvic diaphragm

Pelvic diaphragm

arcus tendineus m. l.a.

fascia pelvis

centrum tendineum perinei

příčně pruhovaná svalovina původem z ocasu inervovaná ze sakrálního plexu

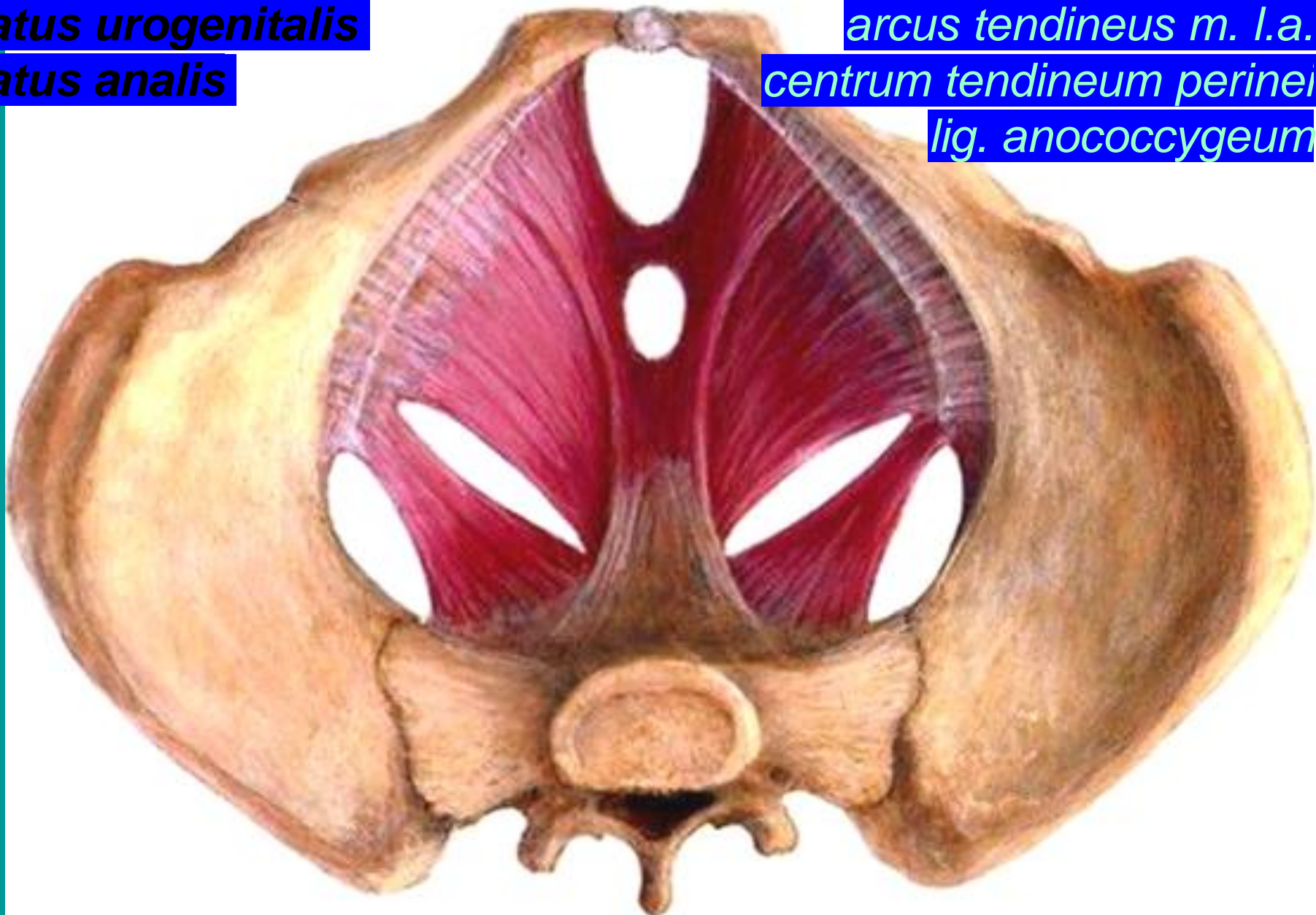
hiatus urogenitalis

hiatus analis

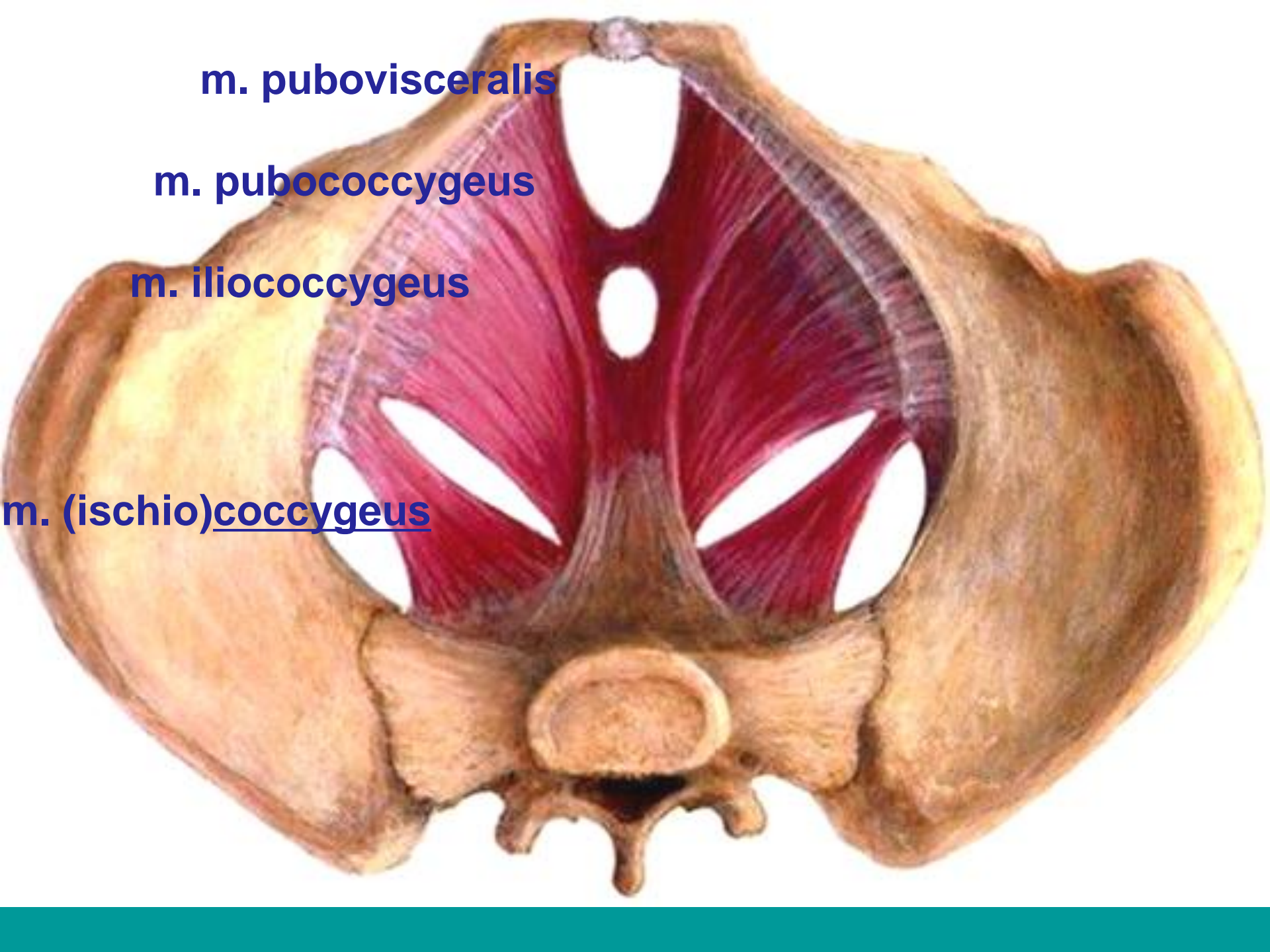
arcus tendineus m. l.a.

centrum tendineum perinei

lig. anococcygeum



Pelvic diaphragm

An anatomical illustration showing the muscles of the human sacrum. The sacrum is a large, triangular bone formed by the fusion of five sacral vertebrae. Four muscles are visible: m. pubovisceralis (top left), m. pubococcygeus (top center), m. iliococcygeus (middle left), and m. (ischio)coccygeus (bottom).

m. pubovisceralis

m. pubococcygeus

m. iliococcygeus

m. (ischio)coccygeus

Diaphragma pelvis

M. levator ani

pars pubica

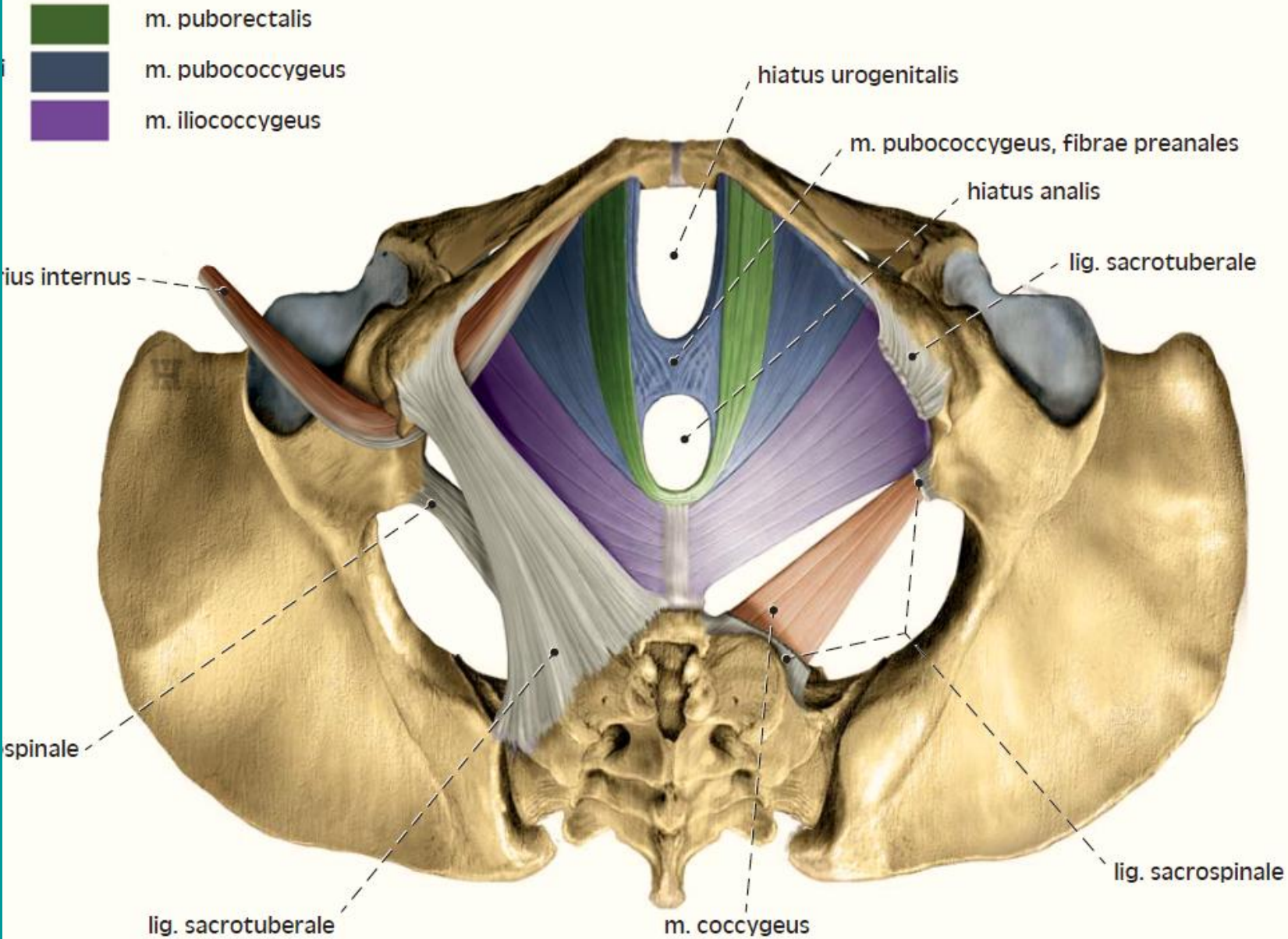
- m. pubovisceralis
- m. pubovaginalis
- m. puboprostaticus
- m. puboperinealis
- m. puborectalis
- m. pubococcygeus

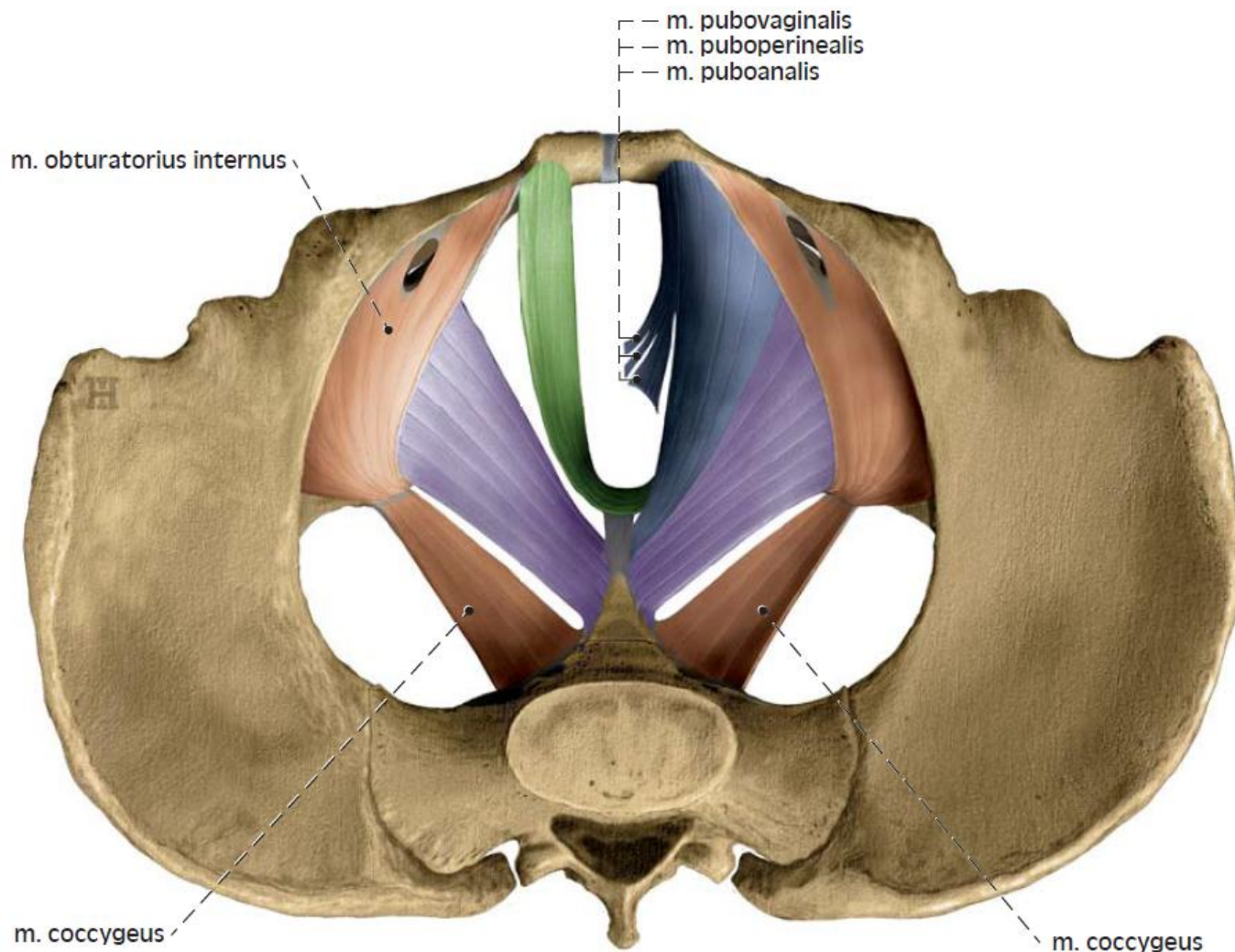
pars iliaca

- m. iliococcygeus

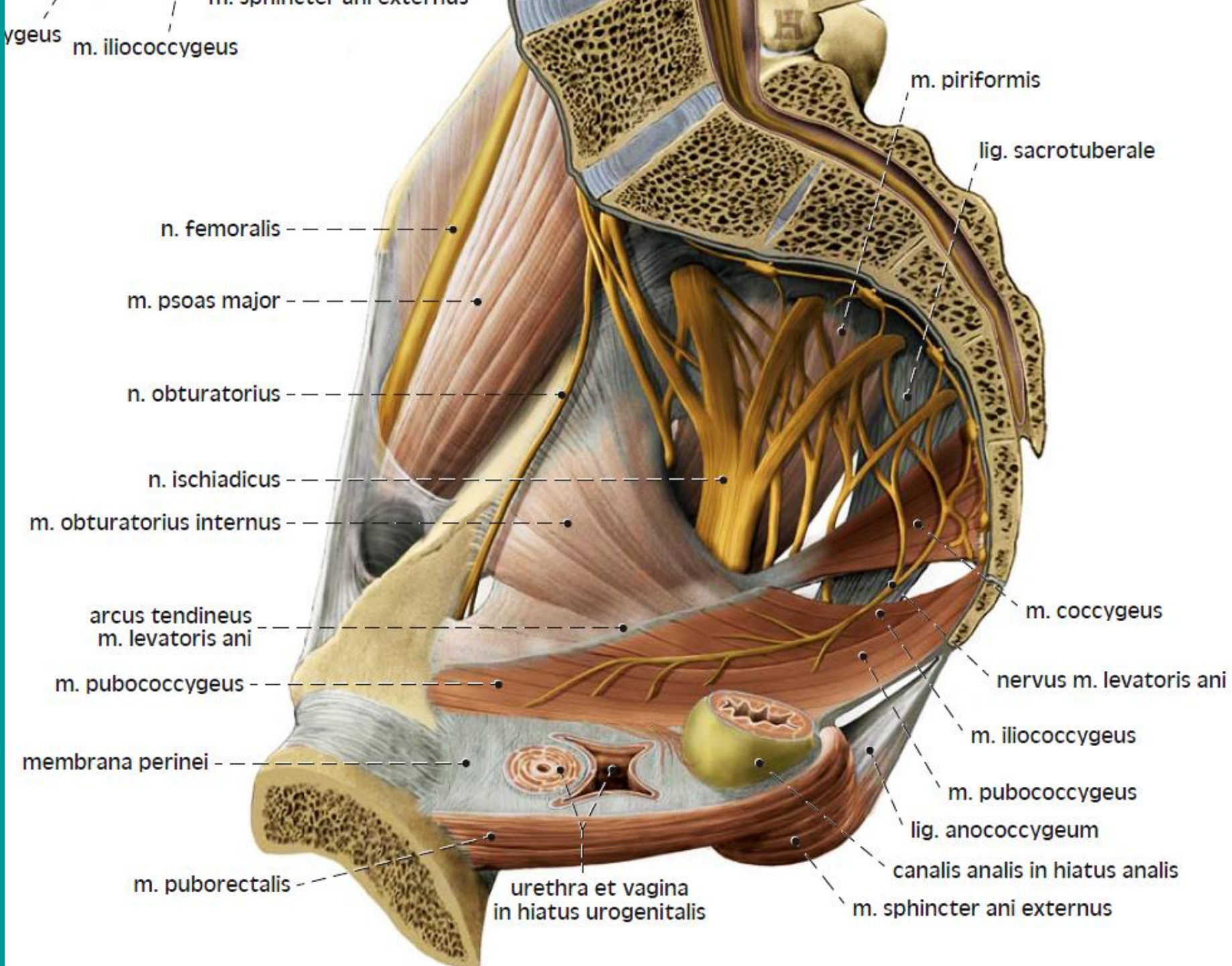
M. coccygeus

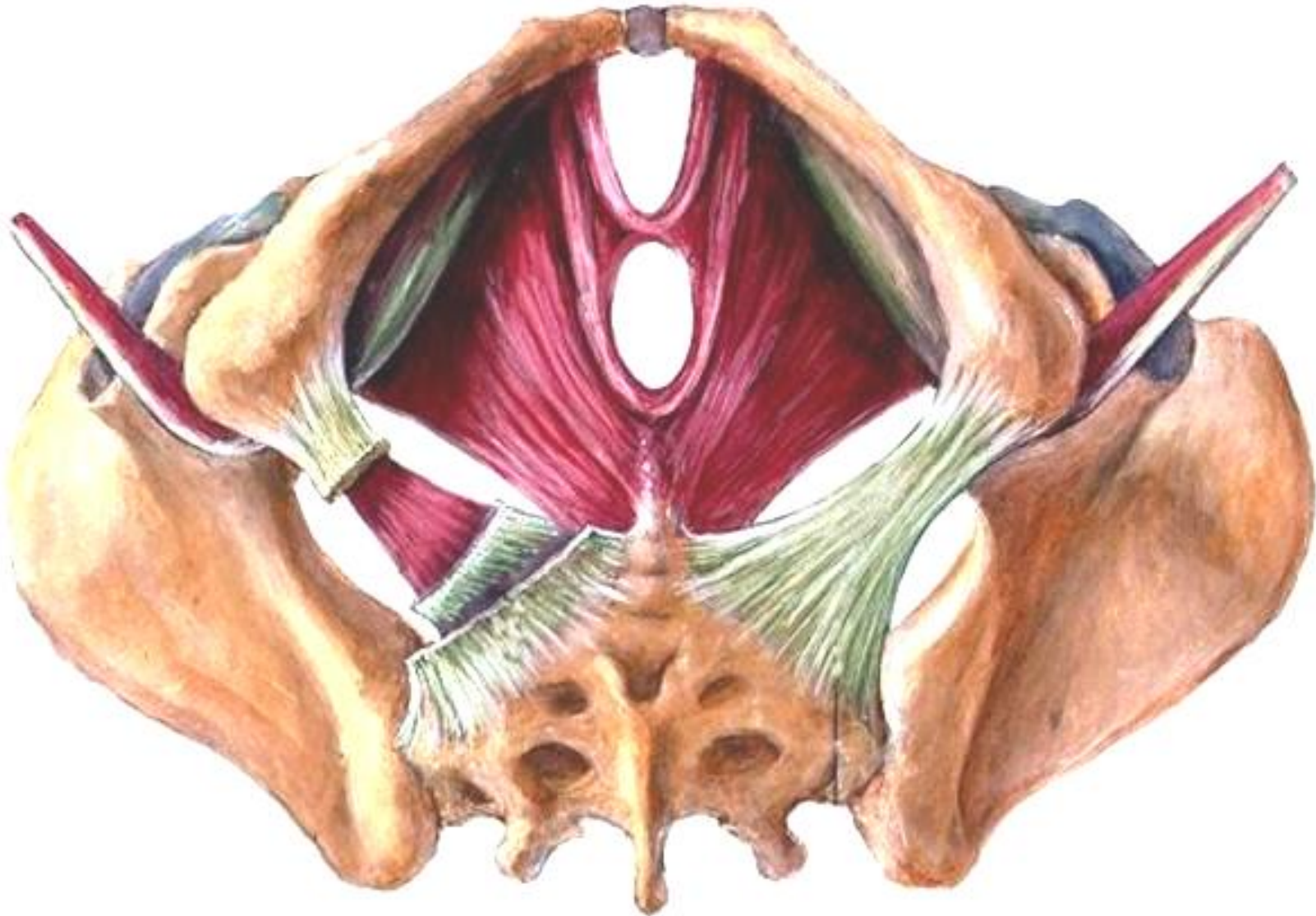
pars ischiadica – m. (ischio)coccygeus





- | | |
|----------------|------------------|
| m. levator ani | m. puborectalis |
| | m. pubococcygeus |
| | m. iliococcygeus |
- hiatus urogenitalis





Diaphragma pelvis, pohled z perinea

M. levator ani

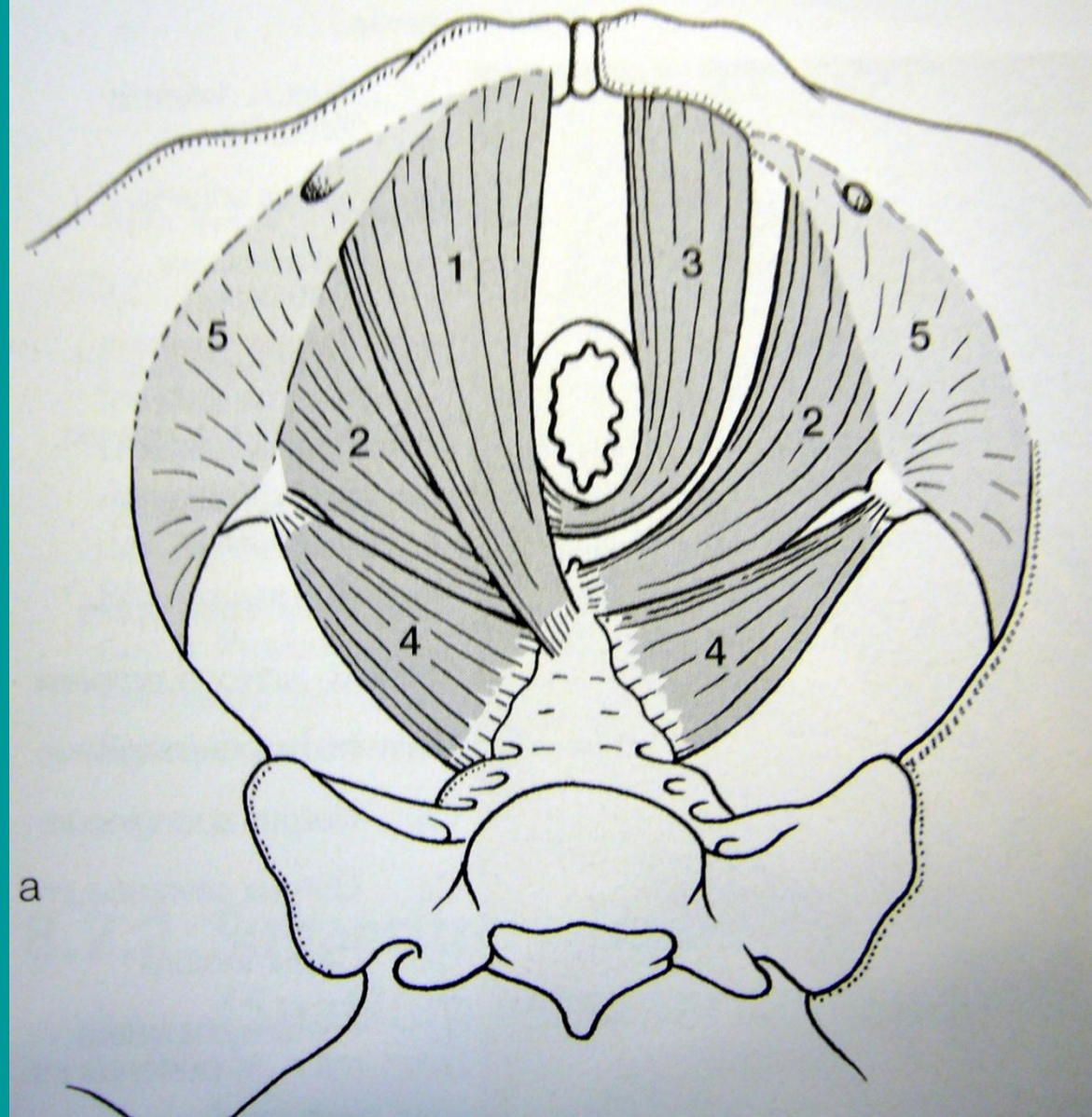
3 - puborectalis

1 – m. pubococygeus

2 – m. iliococygeus

4 – m. ischiococygeus

5 – m. obturatorius int.



Superior view

Pubic symphysis

Utraligament
(upart)

Deep dorsal vein of clitoris

Transverse perineal

Fascia of deep perineal p.

Urethra

Va

piriform muscle

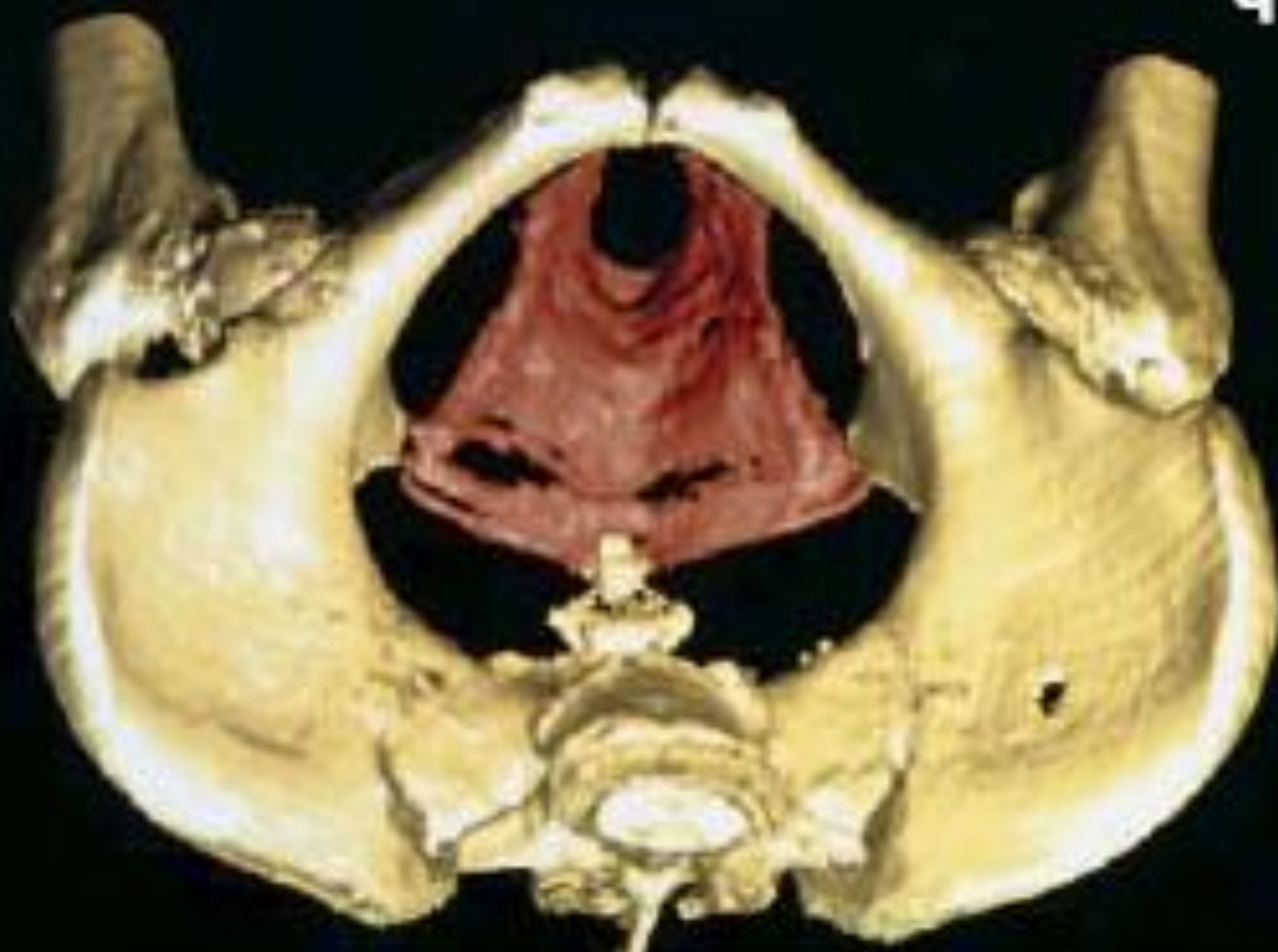
Coccyx

Anterior sacro-
coccygeal ligament

Pelvic diaphragm

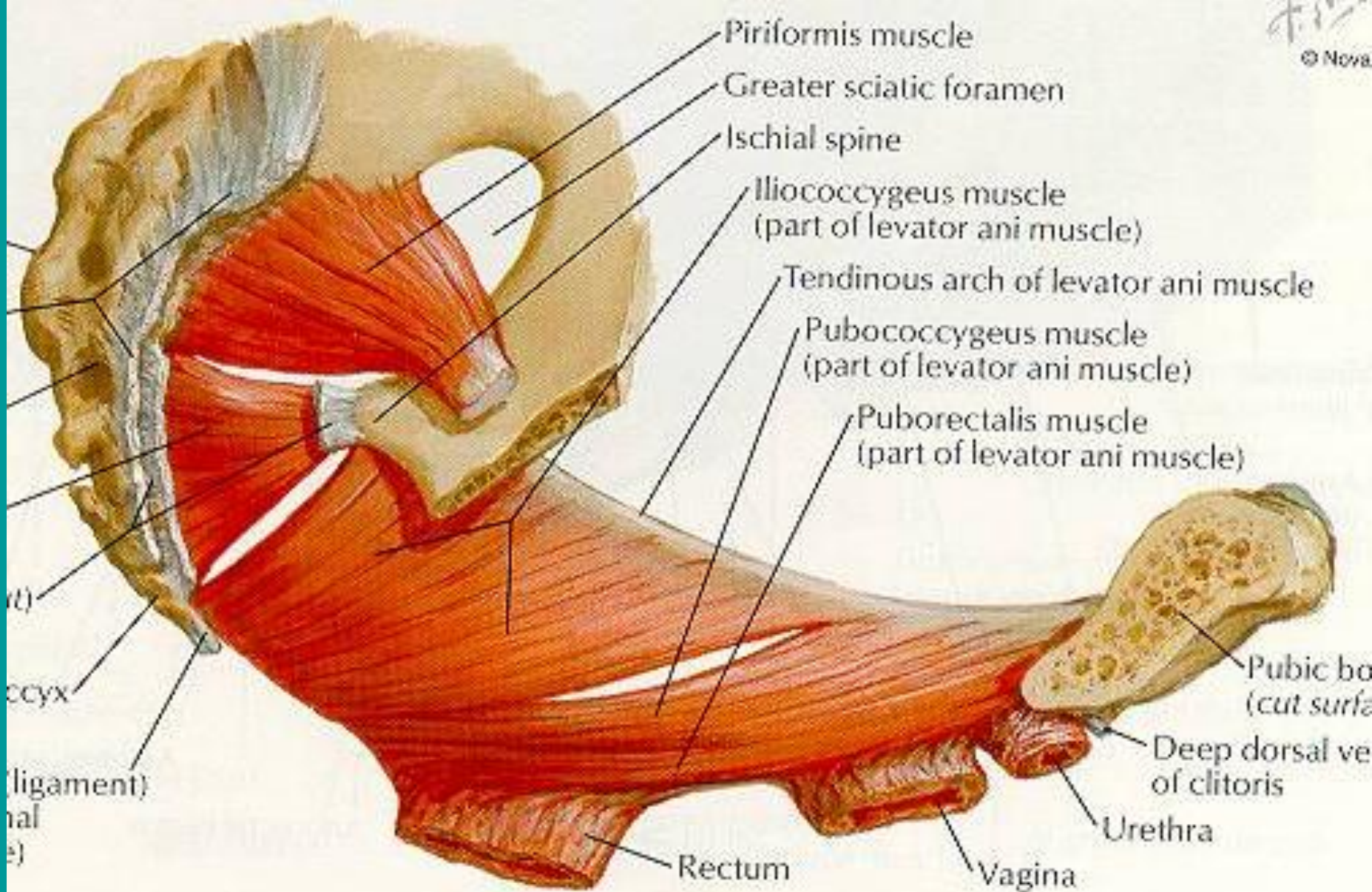
Levator ani

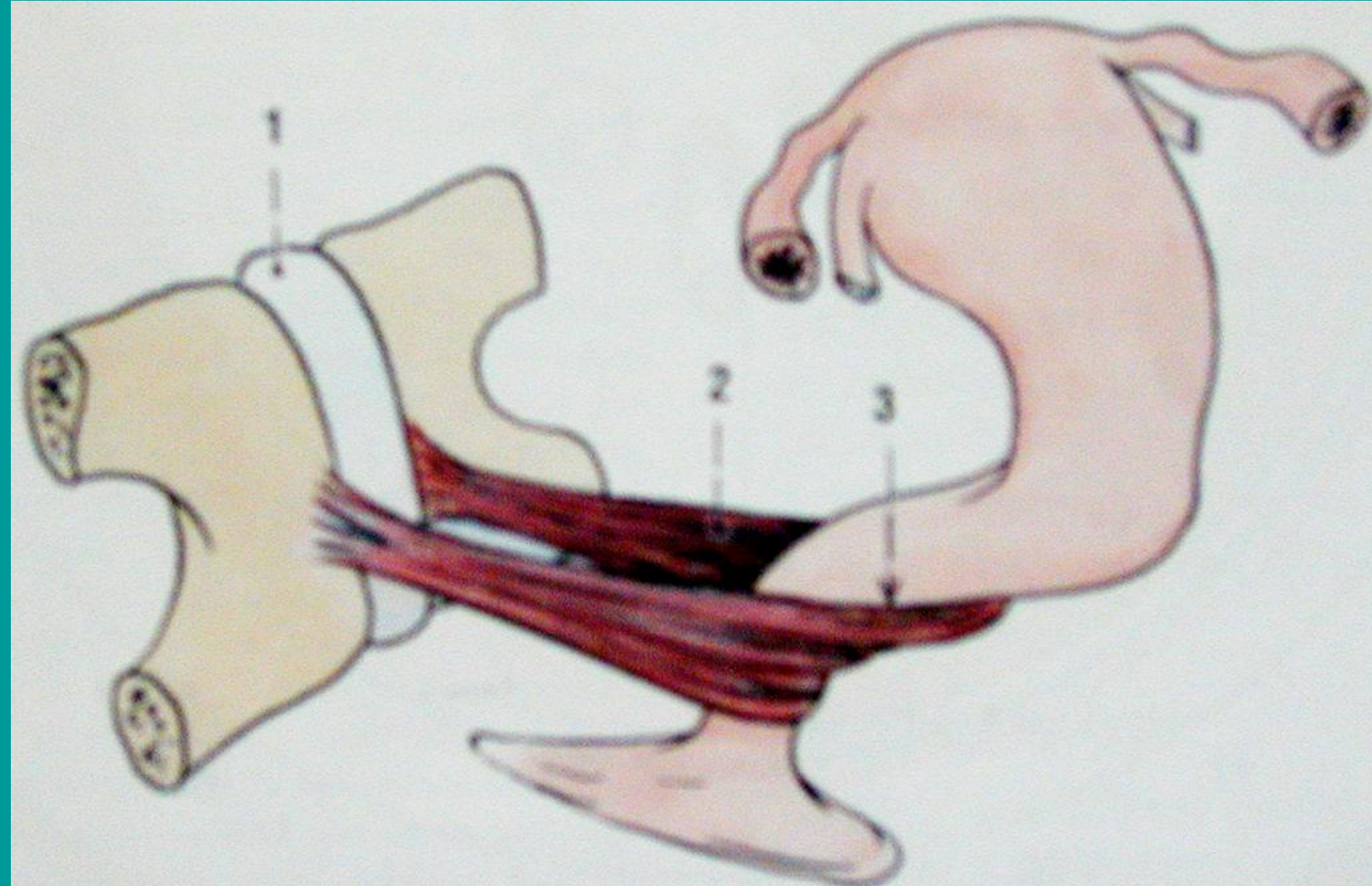
3b



M. levator ani

© Nova





Klička m. pubovaginalis



MRI ženské pánve sagitálně

© Švabík, Mašata, Martan, Vávrovič

Attachments of the cervix and vagina to pelvic walls (uterine corpus and the bladder have been removed)

Obturator int.

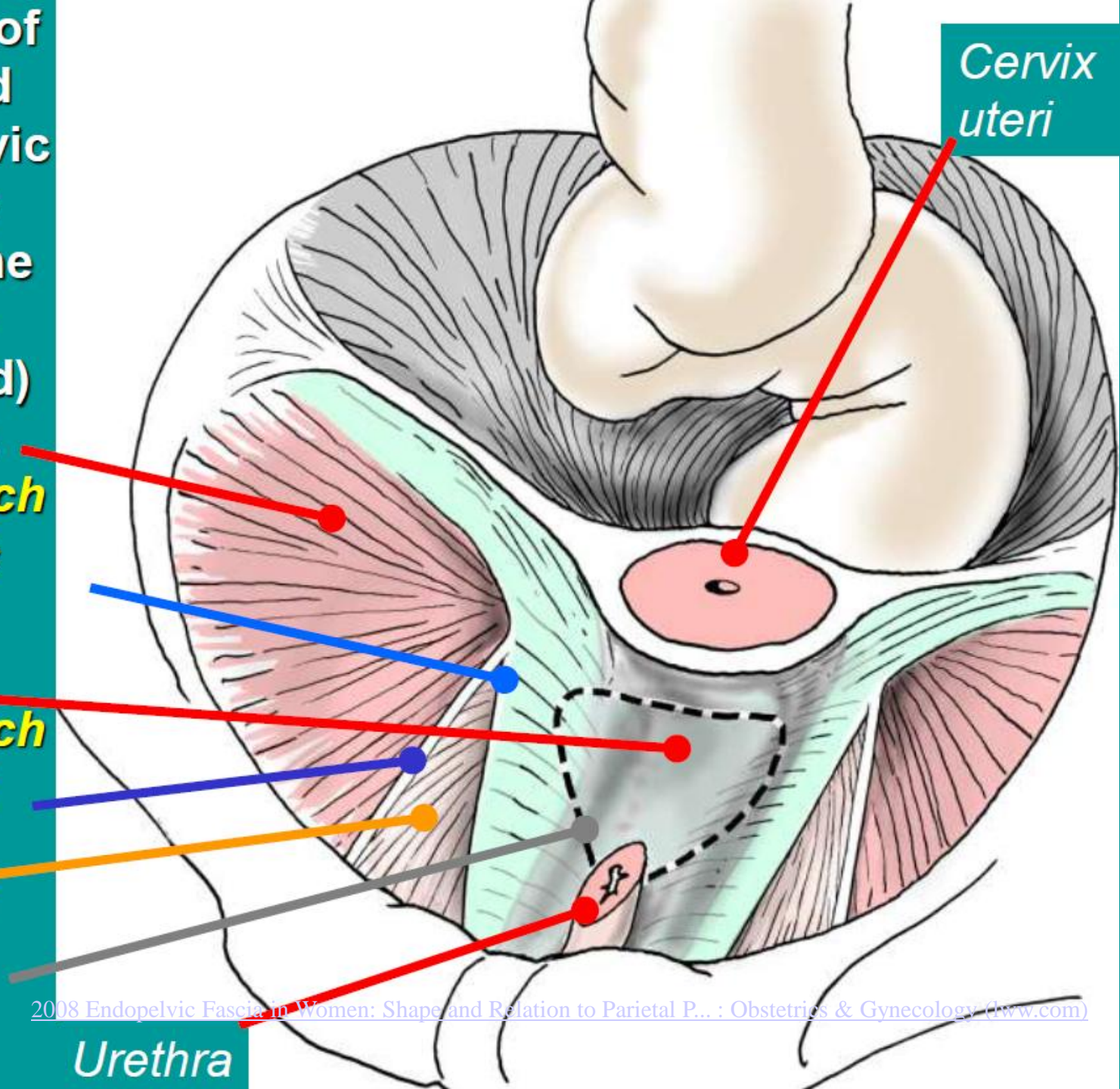
Tendinous arch of endopelvic fascia

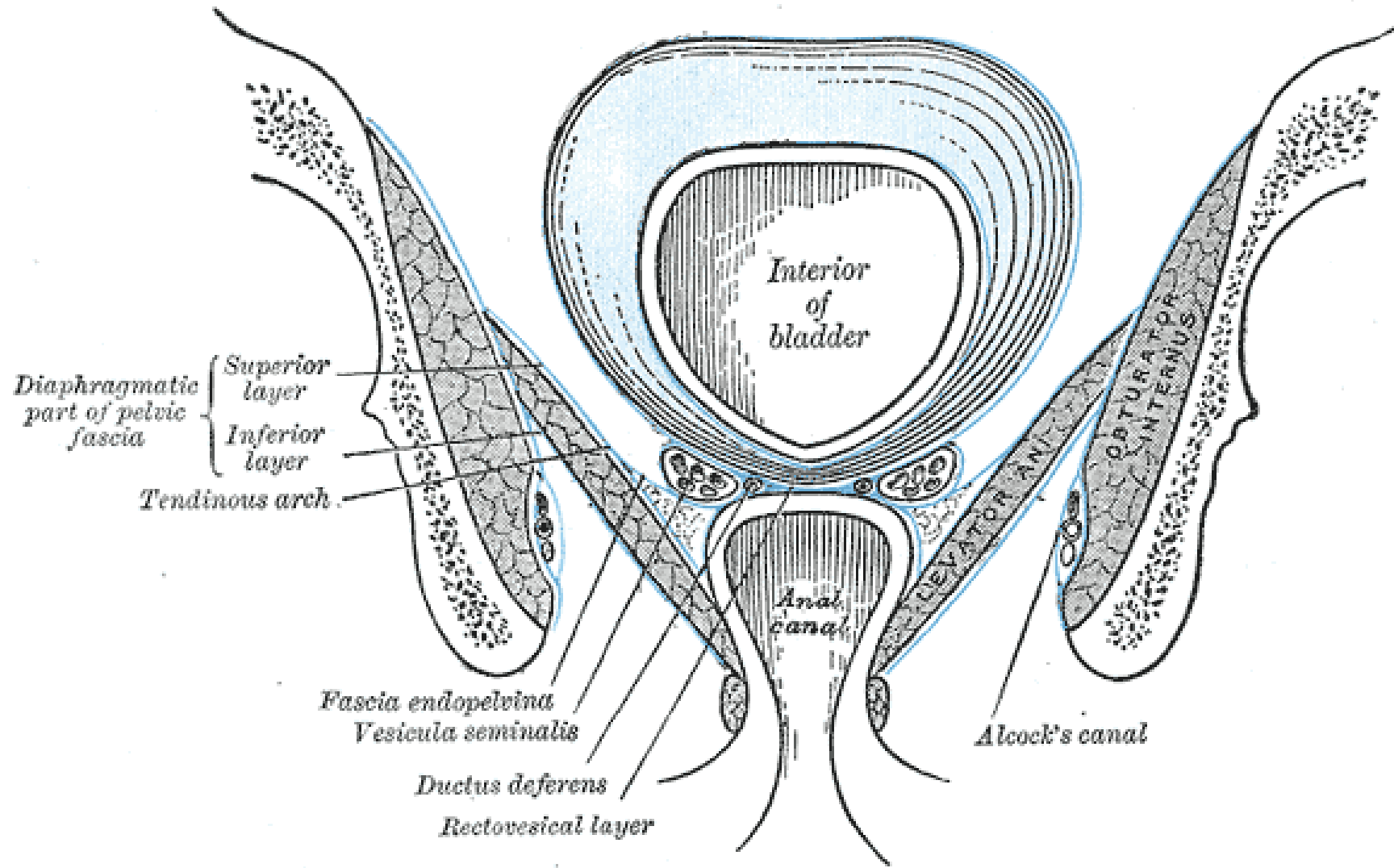
Vagina

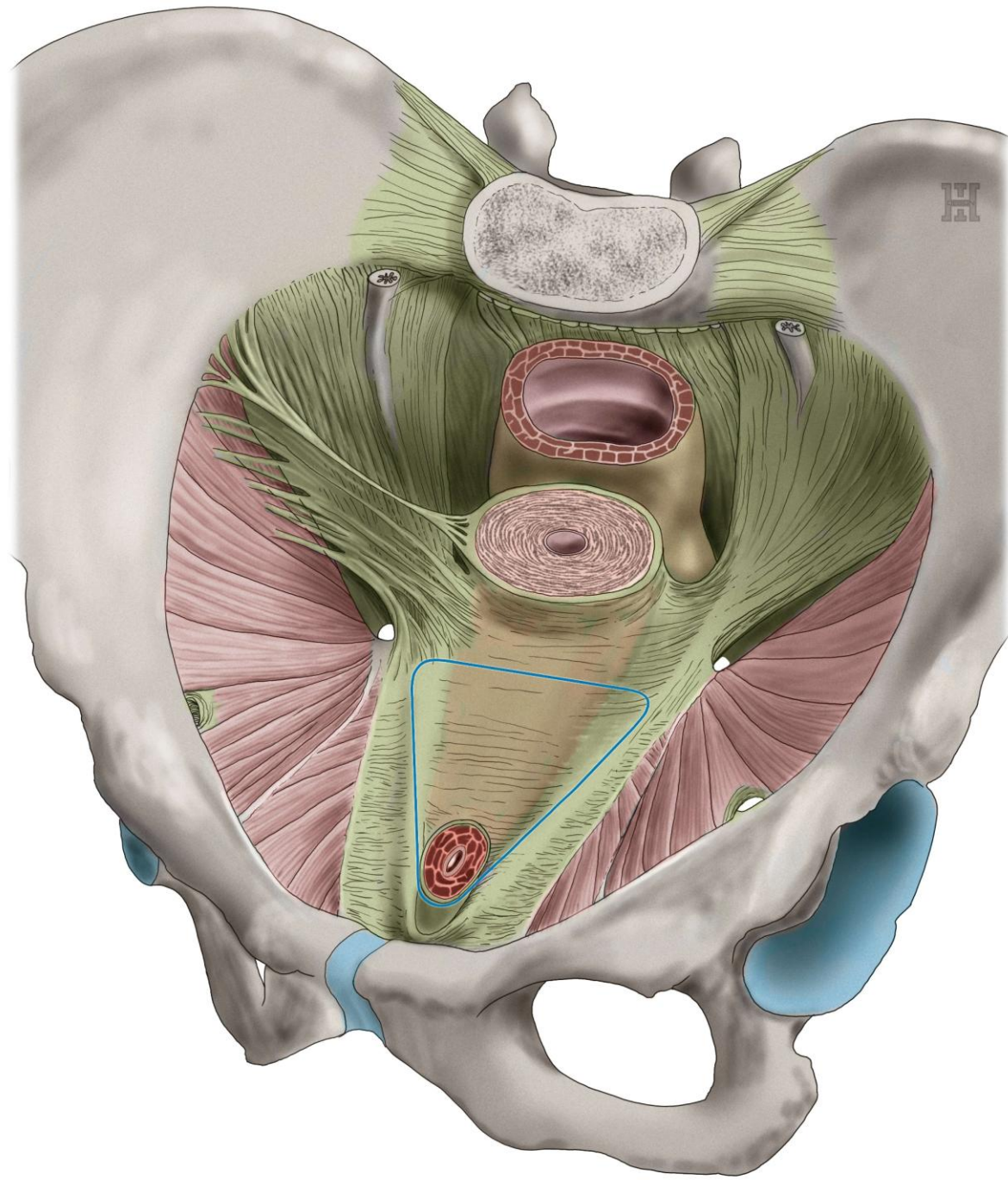
Tendinous arch of levator ani

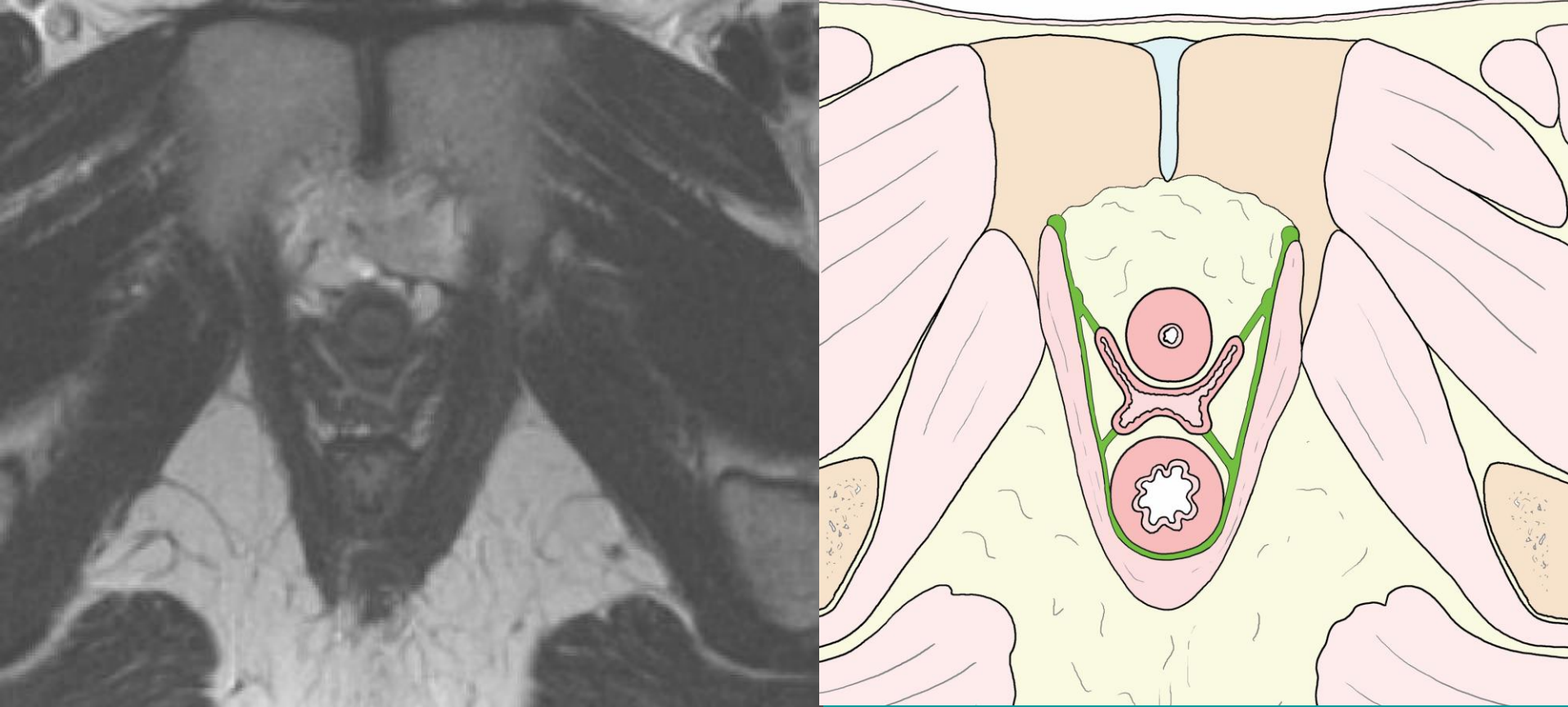
Levator ani

Projection of trigon of the bladder

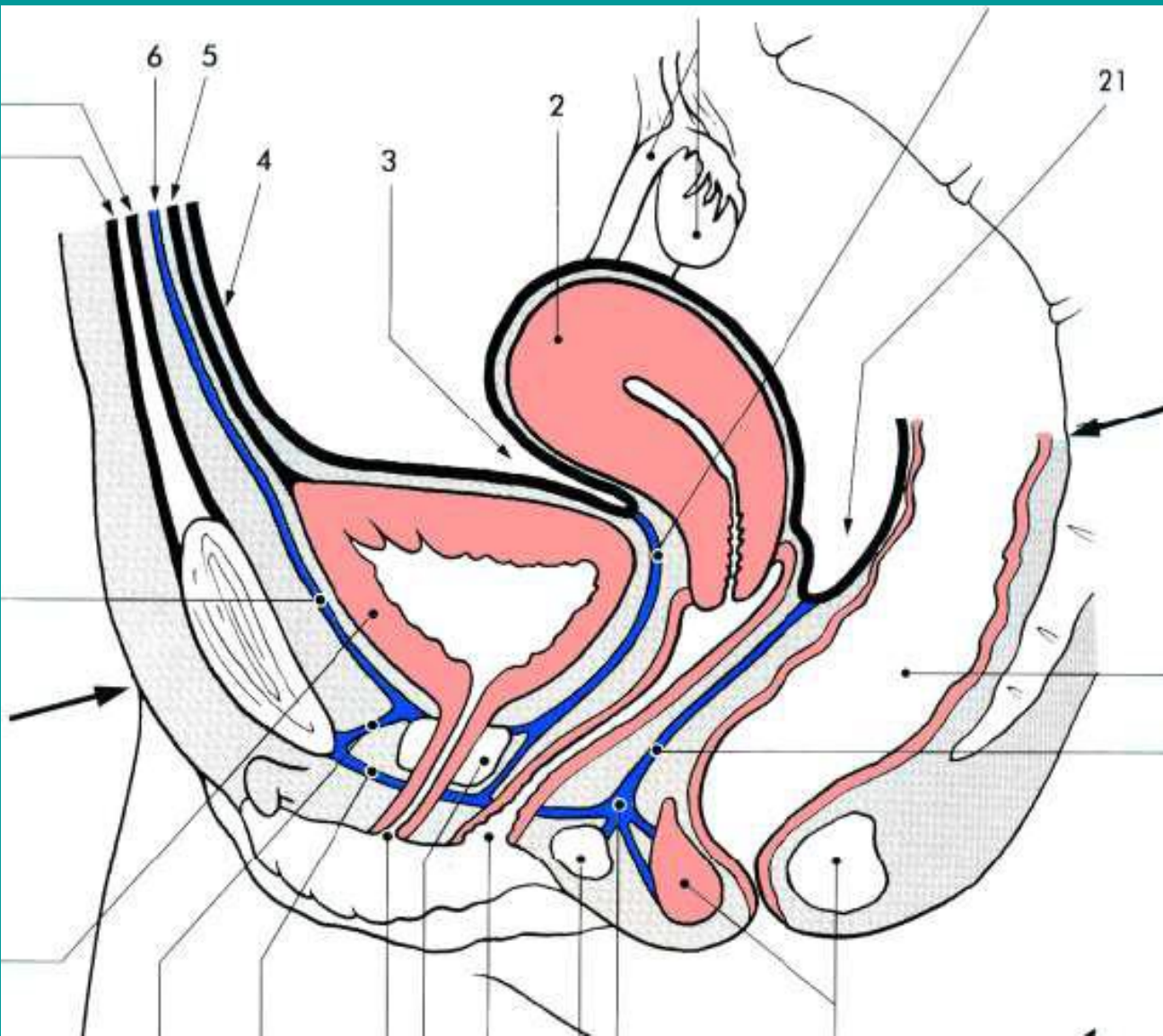


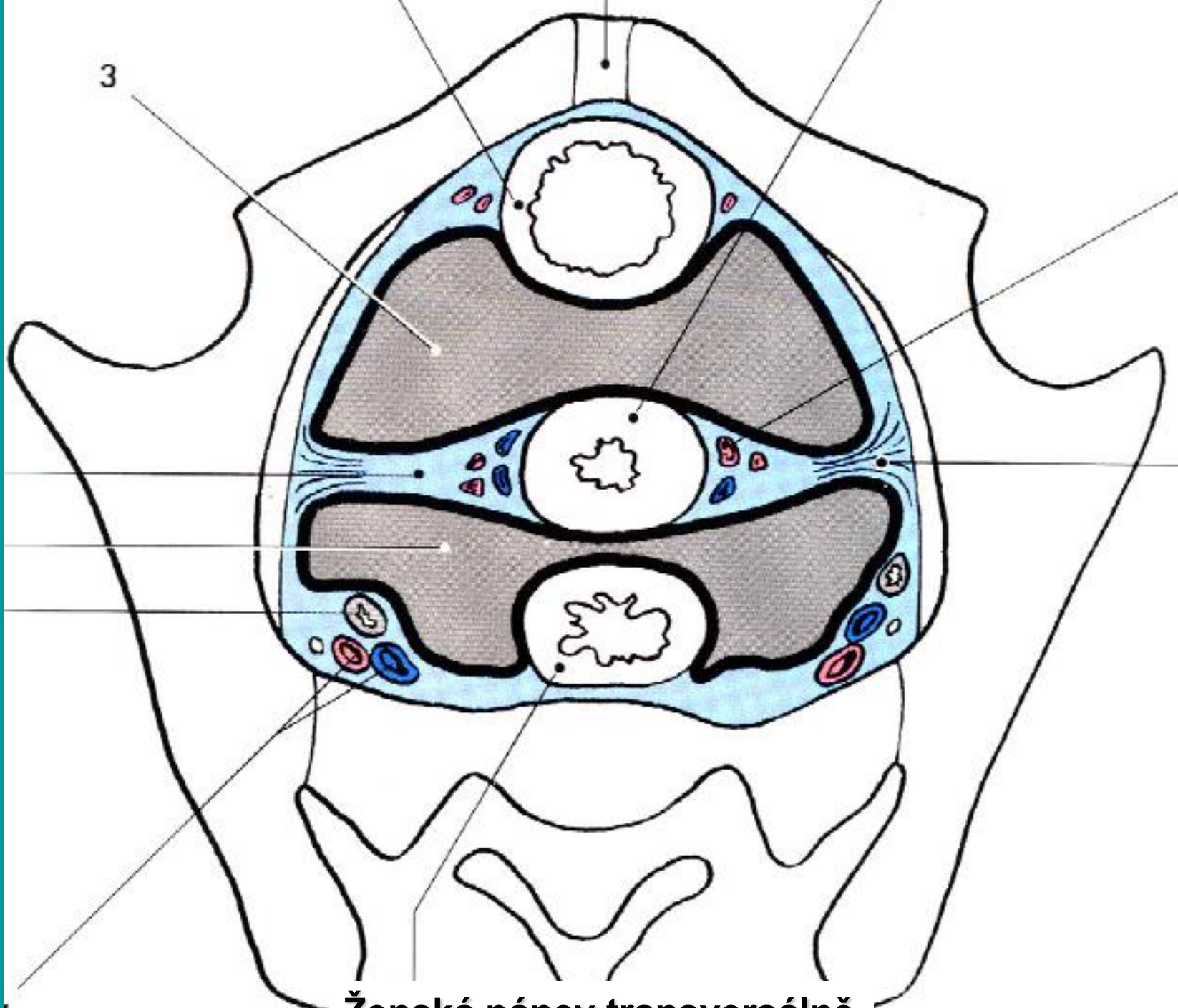






excavatio vesicouterina
excavatio rectouterina
septum vesicovaginale
septum rectovaginale





Ženská pánev transversálně

2. Diaphragma urogenitale

Urogenital diaphragm

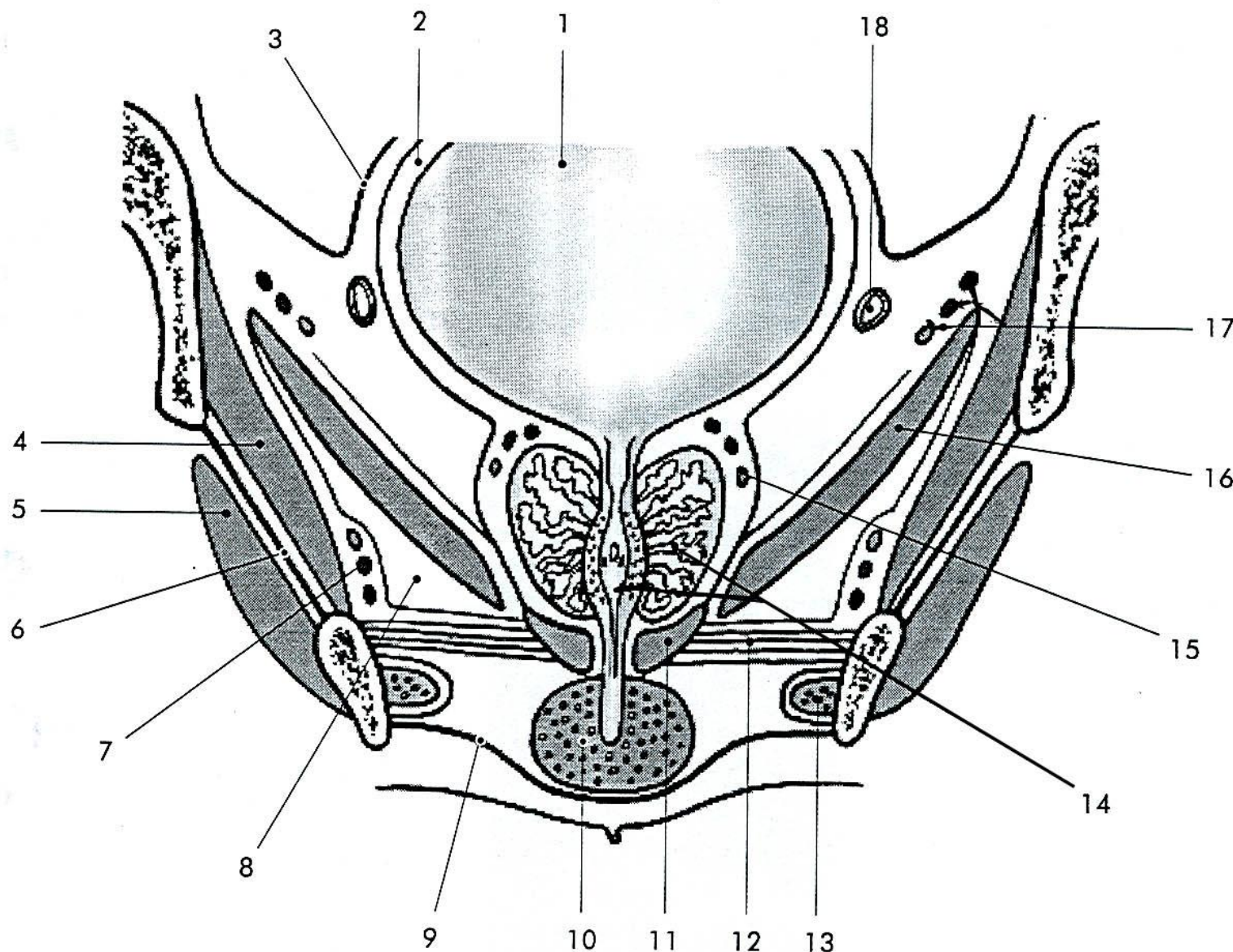
Diaphragma urogenitale uzavírá hiatus urogenitalis - skrze ní prostupuje uretra (a pochva)
v centrum perinei je spojena s diaphragma pelvis
na ní zespodu leží topořivá tělesa + žlázy + mm. perinei

svaly:

M. transversus perinei profundus (**pouze u muže**)
M. sphincter urethrovaginalis (**pouze u ženy**)
M. compressor urethrae (**pouze u ženy**)
M. transversus perinei superficialis (**variabilní**)

vazivové útvary:

Membrana perinei
Lig. transversum perinei (**pouze u muže**)
Centrum perinei (corpus perineale/perineal body)



Obr. 8.34. Frontální řez pávní v úrovni prostaty. 1 – močový měchýr, 2 – paracystium, 3 – peritoneum, 4 – m. obturatorius internus, 5 – m. obturatorius externus, 6 – membrana obturatoria, 7 – Alcockův kanál a v něm vasa pudenda interna a n. pudendus, 8 – fossa ischioanalis, 9 – fascia perinei superficialis, 10 – bulbus corporis spongiosi urethrae, 11 – m. sphincter urethrae externus, 12 – diaphragma urogenitale, 13 – crus penis, 14 – prostata a pars prostatica urethrae, 15 – plexus venosus prostatis, 16 – m. levator ani, 17 – n. a vasa obturatoria, 18 – ductus deferens

3. Mm. perinei

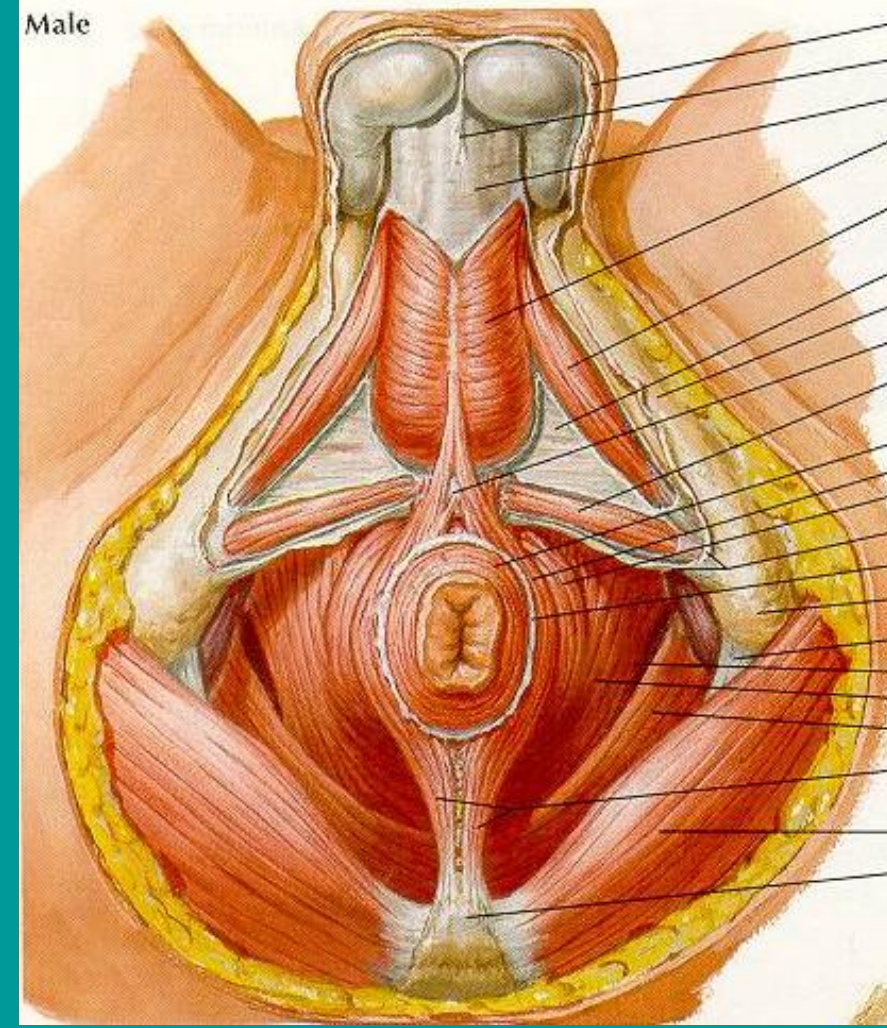
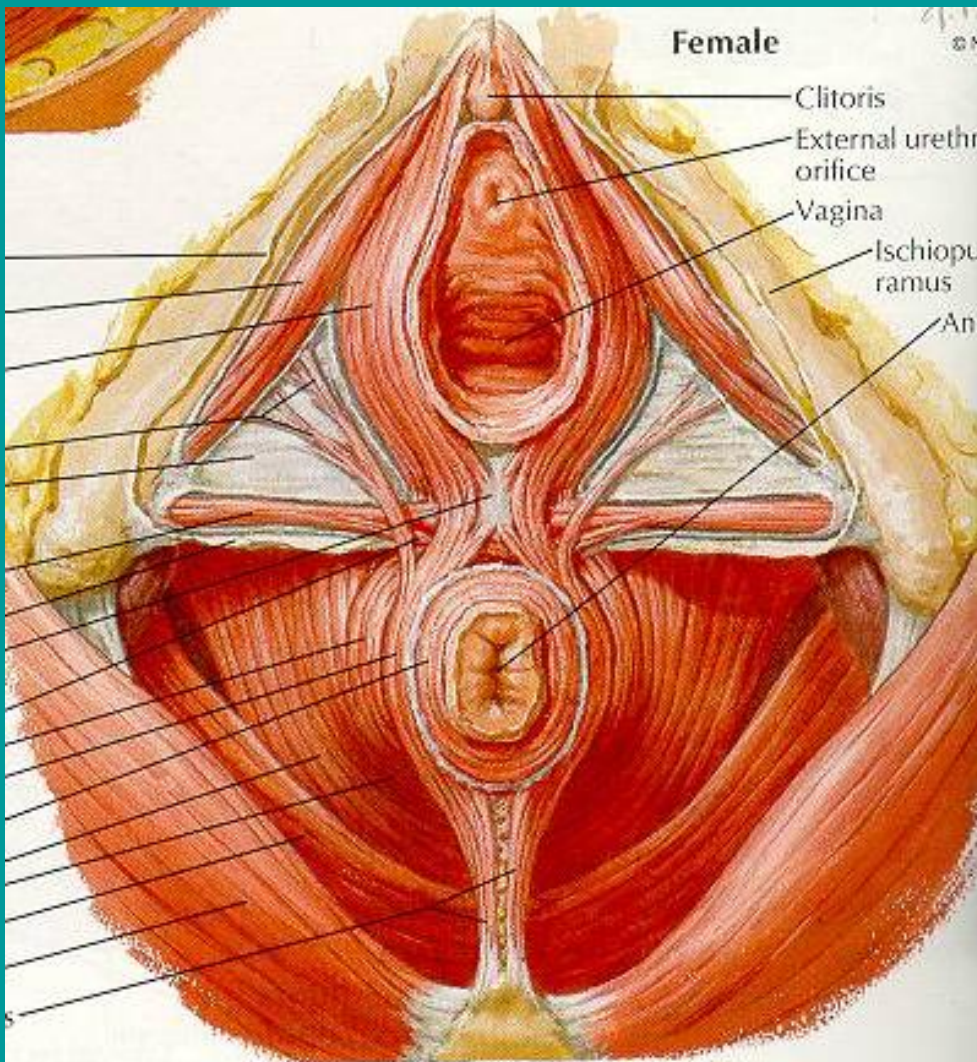
Perineal muscles

Perineum, hráz, v užším (porodnickém) pojetí:
příčný pruh měkkých tkání mezi análním otvorem
a zadním okrajem vestibulum vaginae
(commissura labiorum posterior)

Širší (anatomické) použití termínu **perineum**
(regio perinealis) zahrnuje celou oblast
pánevního východu a člení se na přední **regio urogenitalis**, a zadní část, **regio analis**.

Hlubokou hranicí perinea je spodní plocha
diaphragma pelvis a patří sem proto i obsah
fossa ischioanalisis.

Svaly hráze



**Regio perineale - Urogenital triangle, regio urogenitalis -
Anal triangle, regio analis, - Ischio-anal fossa, fossa
ischioanalisis (ischiorrectalis) Perineum**

3. Mm. perinei

M. sphincter urethrae externus

M. sphincter ani externus

M. bulbospongiosus

M. ischiocavernosus

Mm. perinei, svaly hráze

mm. regionis analis

m. sphincter ani externus

mm. regionis urogenitalis

m. sphincter urethrae externus

+ **sphincter urethrovaginalis**

+ **compressor urethrae**

m. ischiocavernosus

m. bulbospongiosus

Fibrous structures:

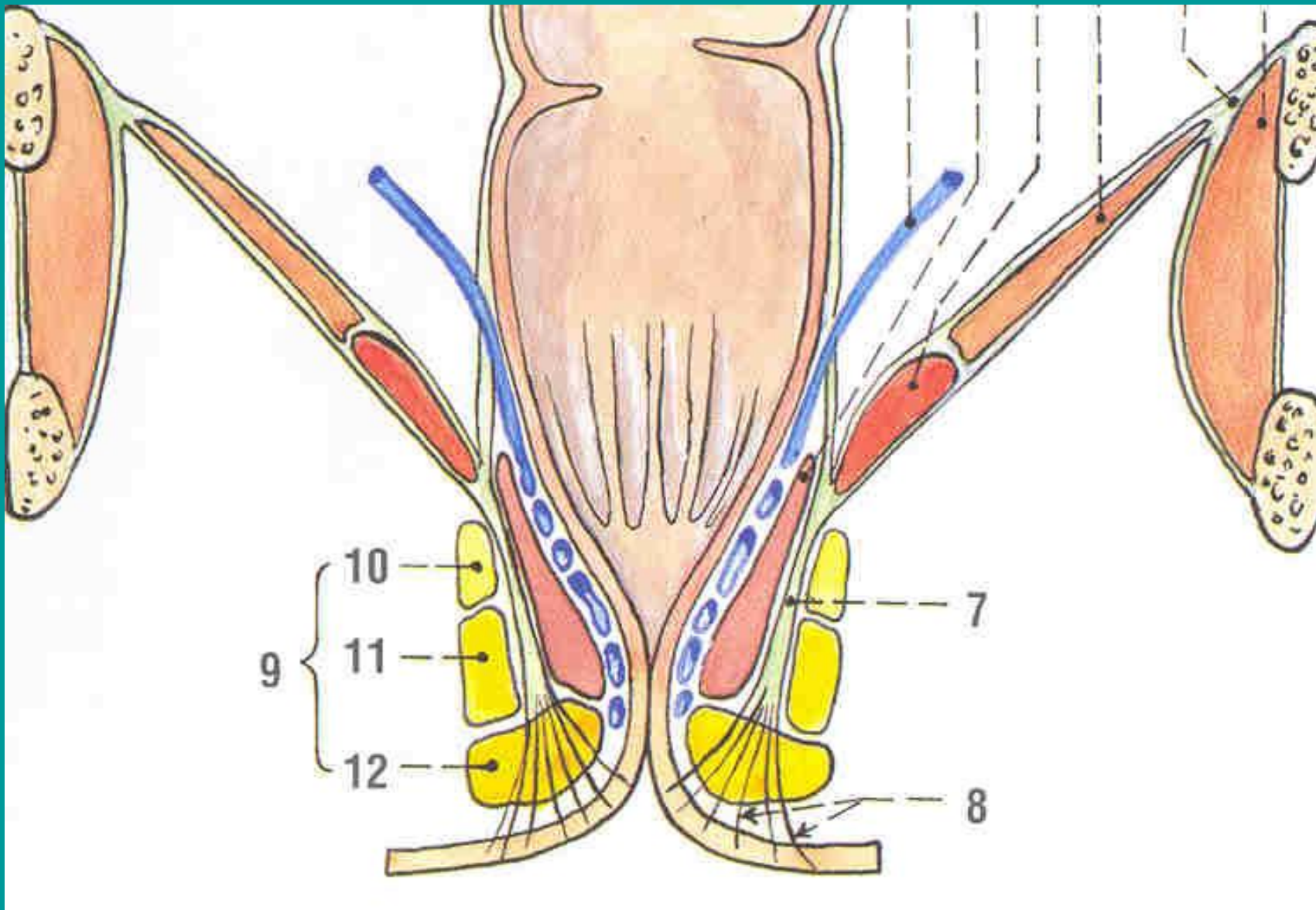
Perineal body, Anococcygeal lig.

Fossa ischioanalis

Corpus adiposum fossae ischioanalis

Canalis pudendalis (Alcockův kanál)

M. sphincter ani externus (žlutě)



M. sphincter ani externus

pars subcutanea - těsně pod kůží okolo análního otvoru, rozdělena vazivovými pruhy, které se upínají v okolí análního otvoru

pars superficialis - leží nad pars subcutanea, je silný 0,5 - 1,5 cm a vysoký 1,5 cm, je to nejsilnější část sfinkteru

pars profunda - tvoří prstenec a vidlici v úrovni m. puborectalis a spolu s ním vytváří **m. compressor recti**, nejdůležitější složku continentia alvi

Funkce: stav trvalé kontrakce – relaxace při defekaci, zvýšený tonus při zadržení stolice

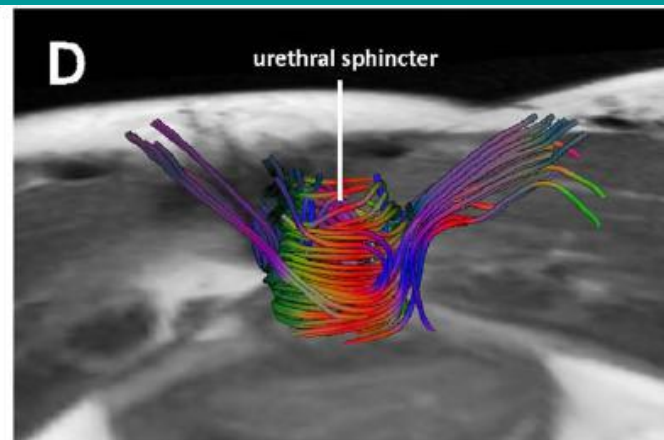
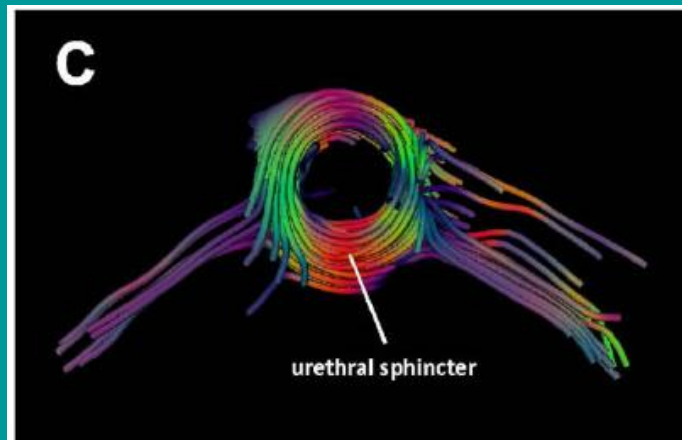
Inervace: n. pudendus

M. sphincter urethrae externus

leží nad a v úrovni diaphragma urogenitale, obkružuje uretru, je silnější po stranách a dorzálně, obsahuje pomalá svalová vlákna, dlouhodobě udržuje svalový tonus
kaudální snopce přecházejí na boky pochvy, kraniální snopce na apex prostaty

Inervace cestou n. pudendus z motoneuronů Onufova jádra v S2 a S3

M. sphincter urethrovaginalis, M. compressor urethrae

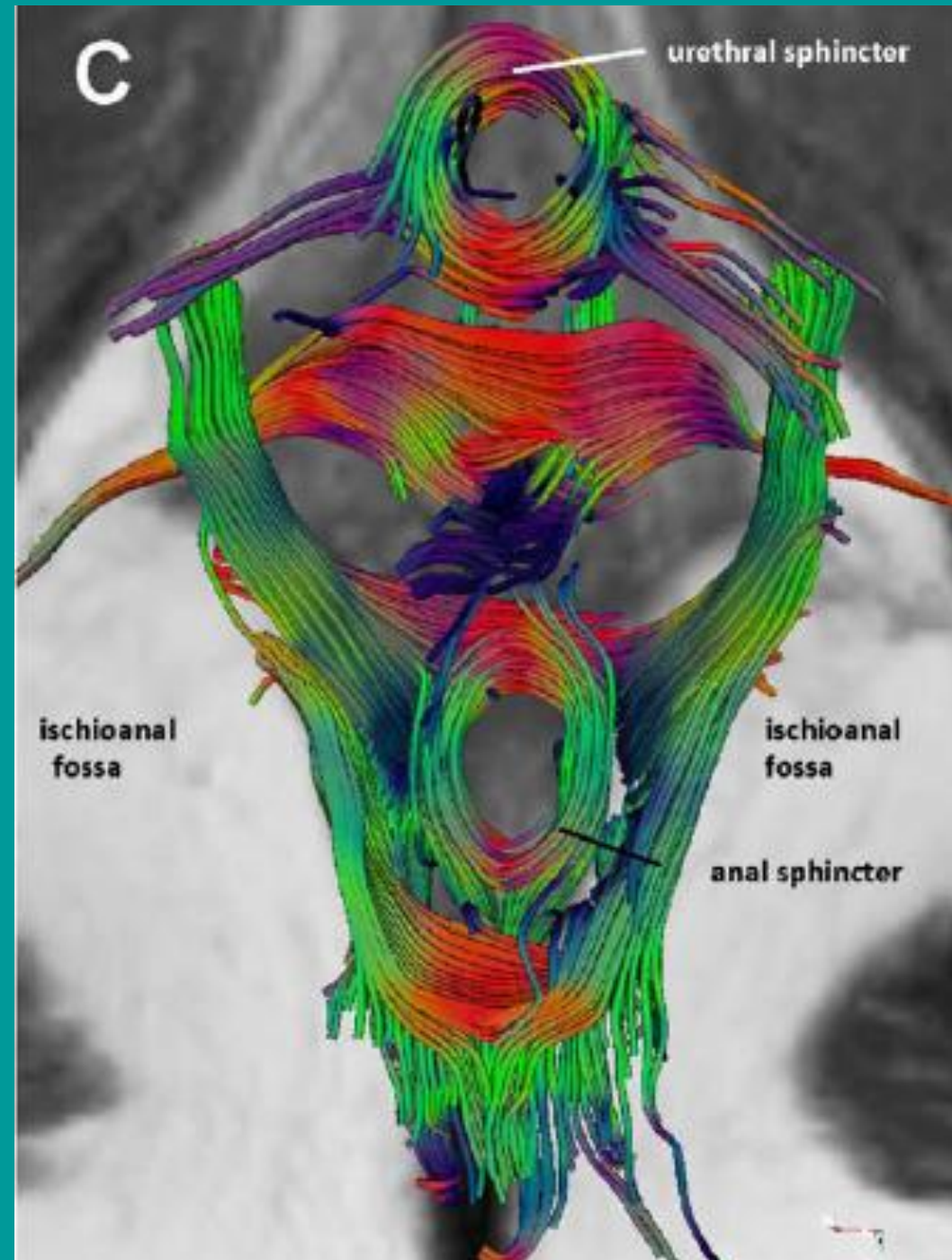


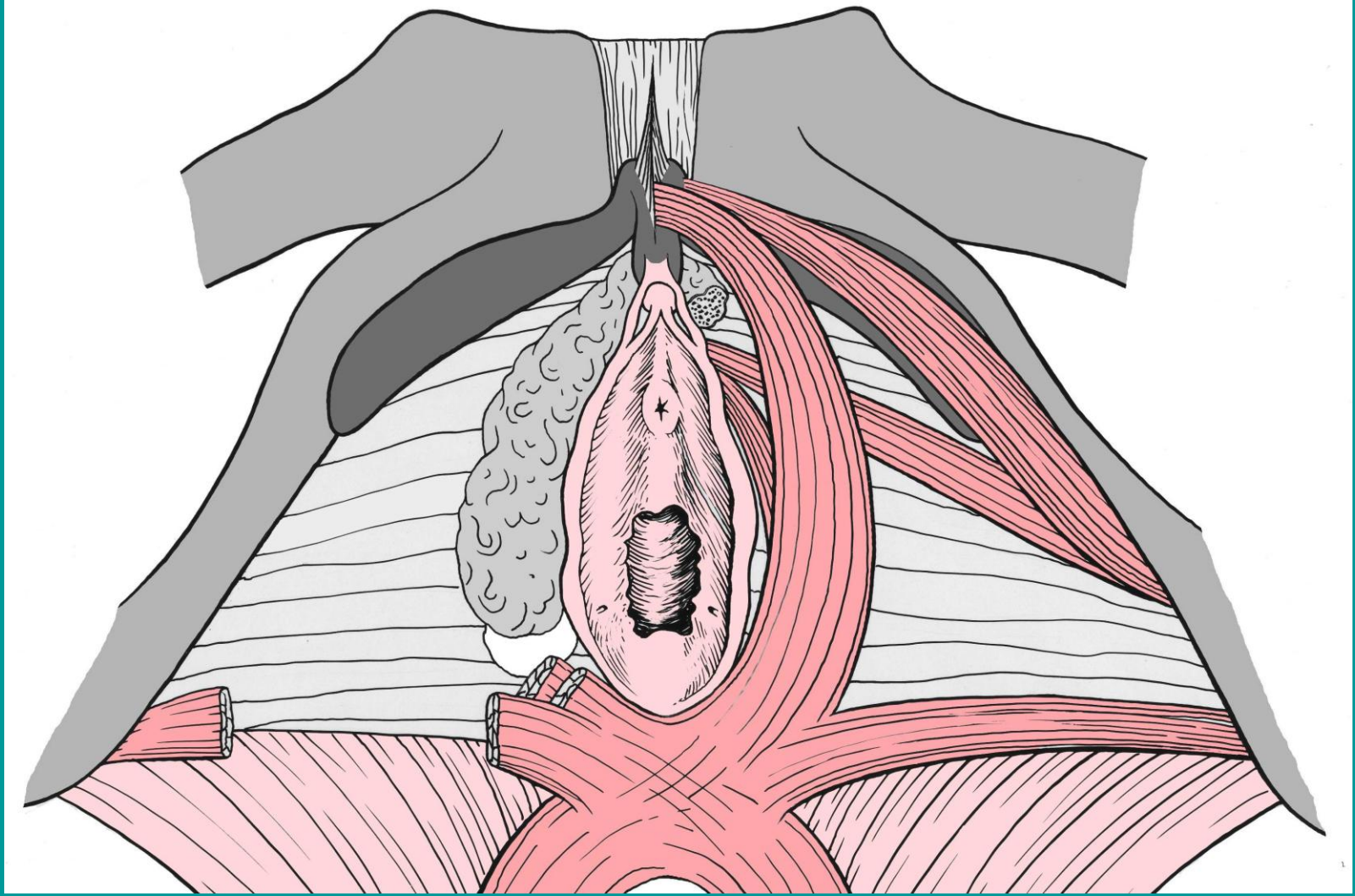
Zijta M et al. Clin Anat

26:110–114 (2013)

Axial T2-weighted image
of a 26-year-old nullipara.

C demonstrates
the multidirectional
organization of the
complex pelvic floor anatomy.
The per-voxel vector values
are color coded as follows:
green (anteroposterior direction),
blue (craniocaudal direction),
and red (mediolateral direction).





Female external genitalia and perineal muscles - Bulbospongiosus, Ischiocavernosus, Compressor of urethra, Urethrovaginal sphincter, Superficial transverse perineal muscle
m. levator ani, m. sphincter ani externus, centrum perinei

3b. Mm. perinei

Perineal muscles

vývoj



kuře

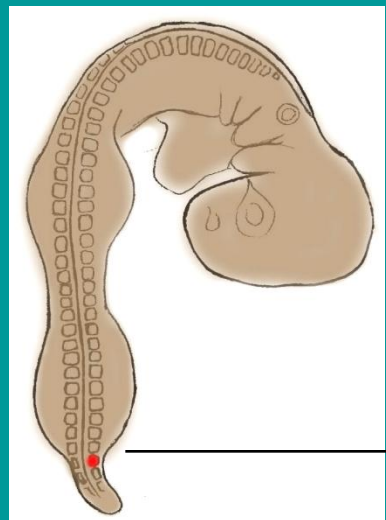
Gallus gallus domesticus



křepelka

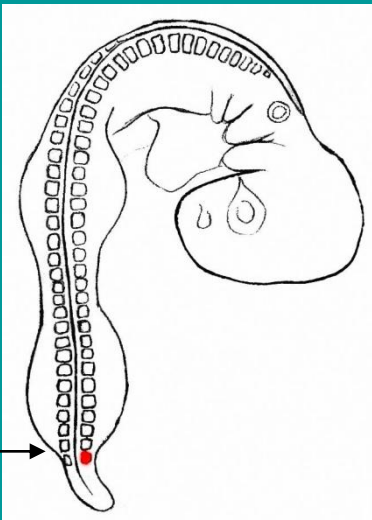
Coturnix coturnix japonica

Segmental origin of muscles

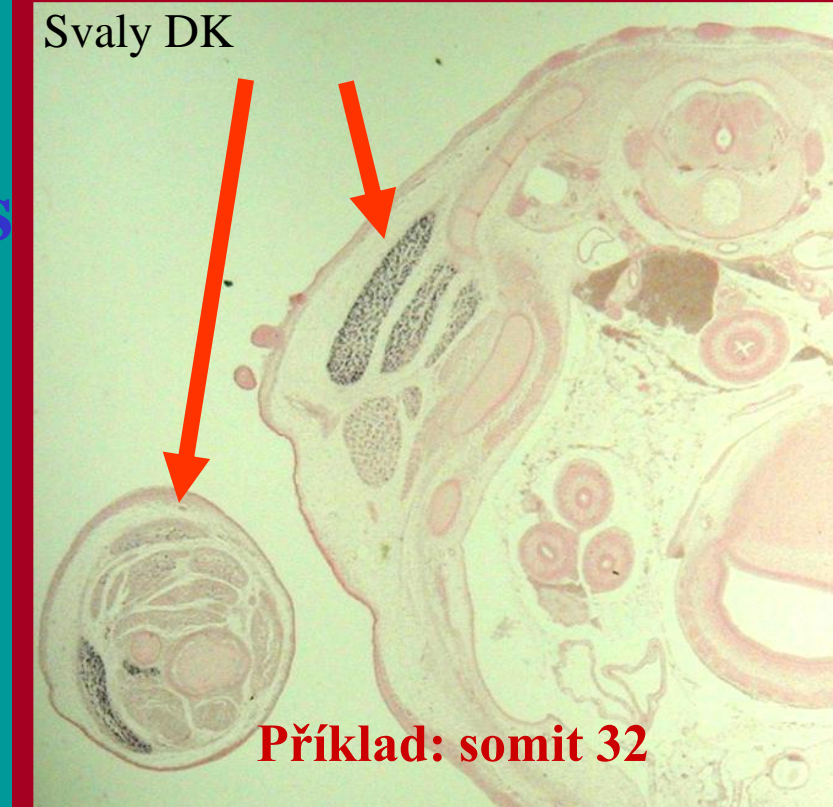


quail

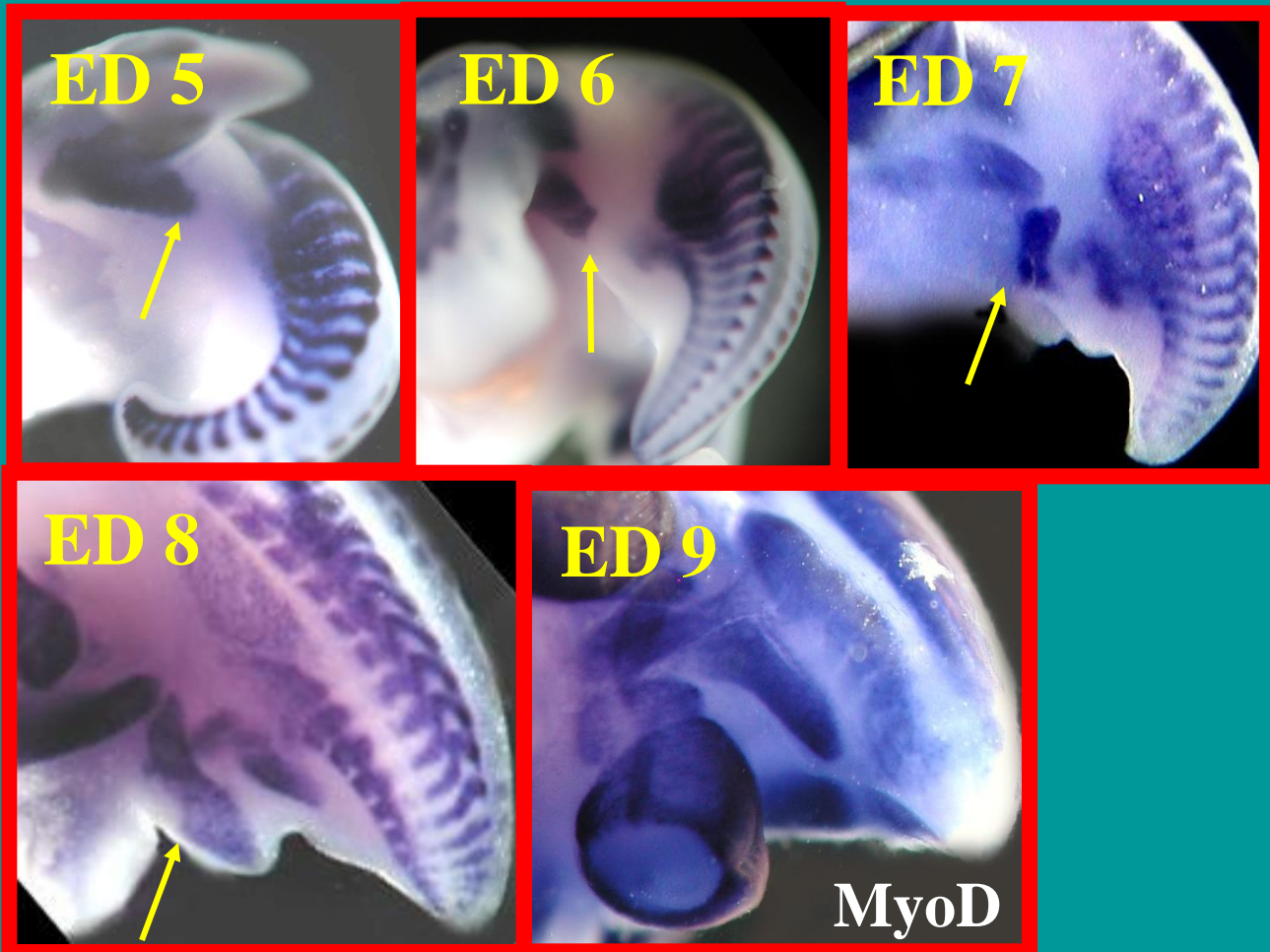
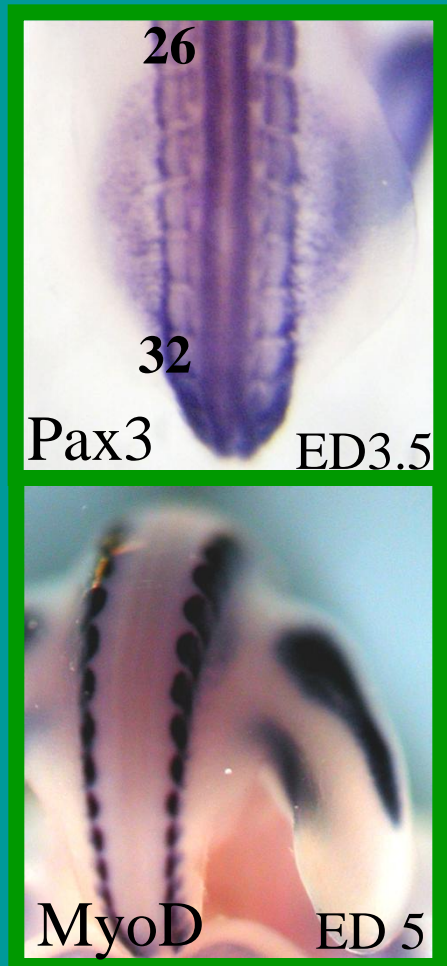
ED3



chick

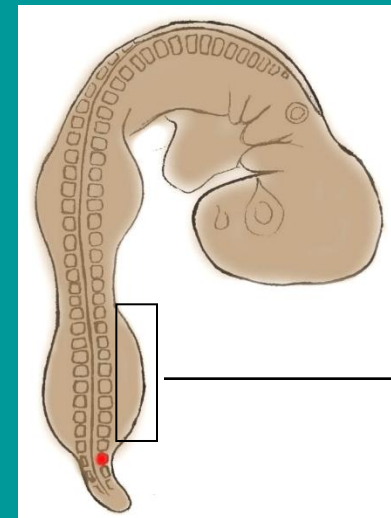


Molecular analysis of chick cloacal musculature development

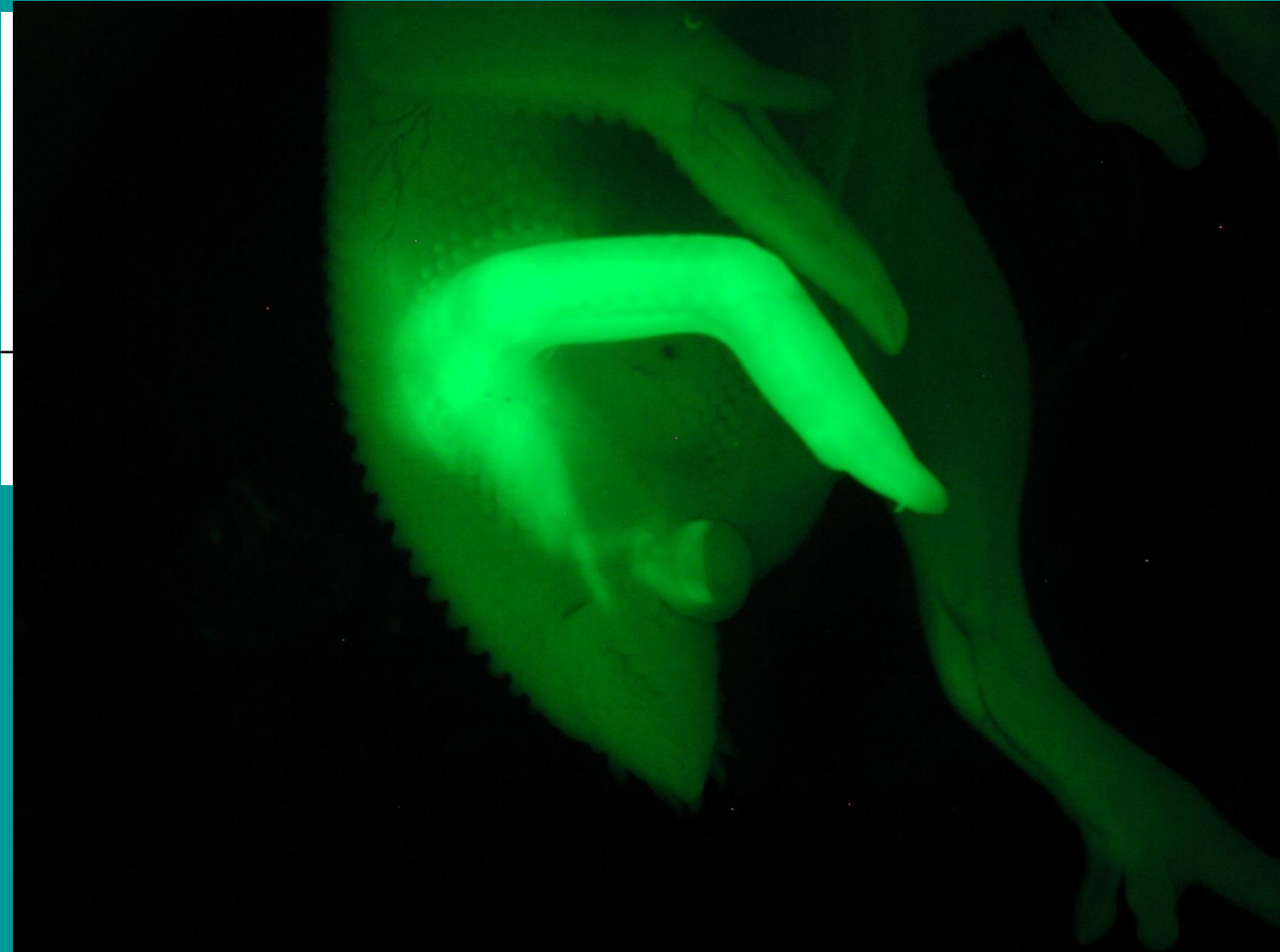


Phase 1 – migration do leg - „In“
Phase 2 – extension from leg - „Out“

The base of a leg gives off muscle cells for cloaca



GFP chick



ED 4

wing

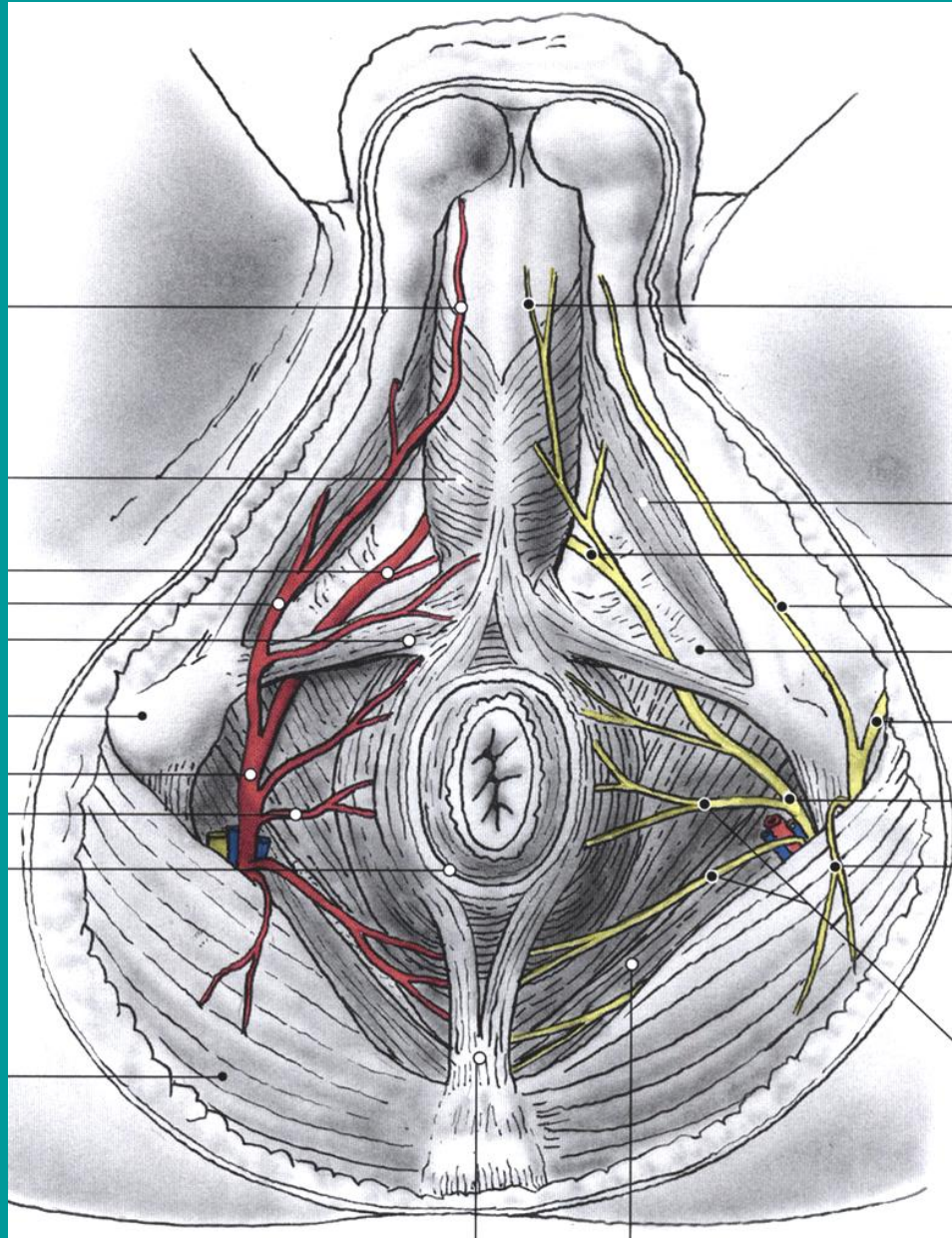
ED10

Mouse cloacal-perineal muscles in *cMet*-/-

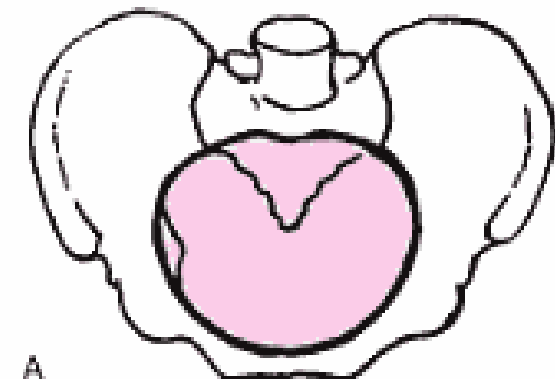


1. Also murine cloacal muscles develop from flexors
2. *cMet* -/- confirms migratory mechanism

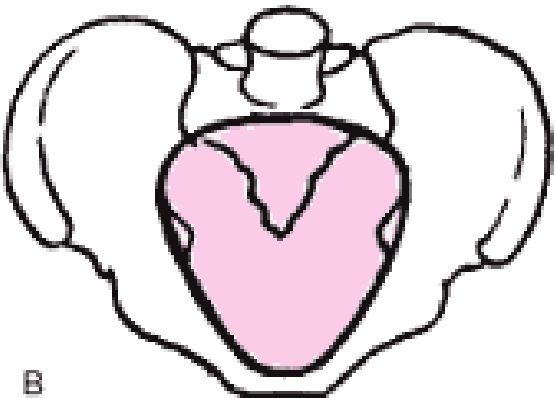
n. pudendus a jeho neobvyklý průběh...



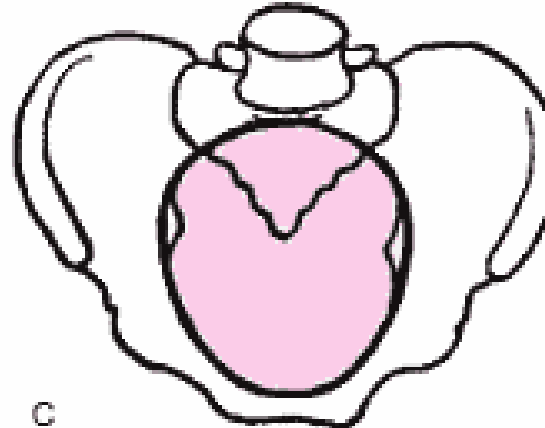
Pánevní dno & Porod



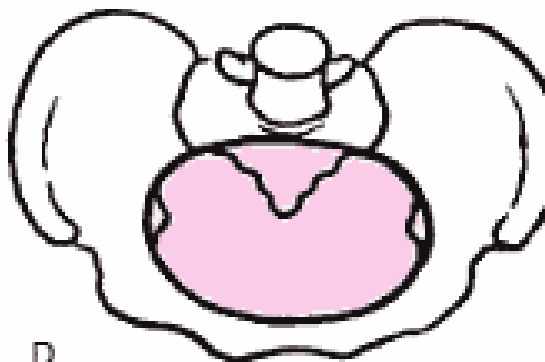
A



B



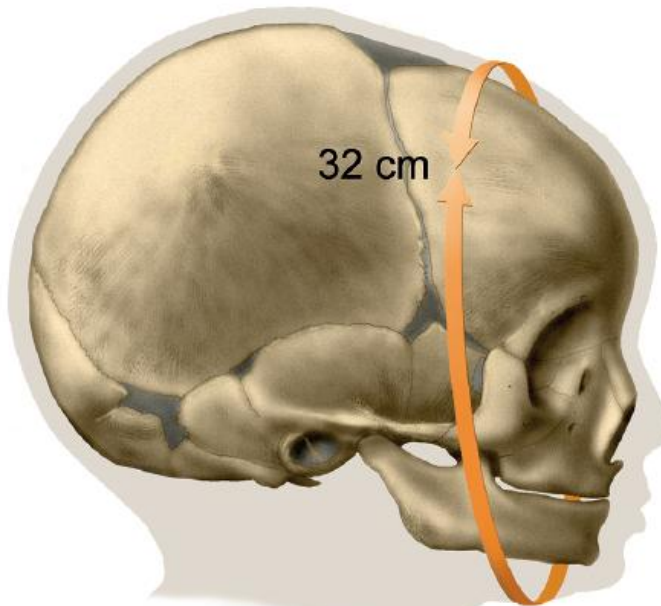
C



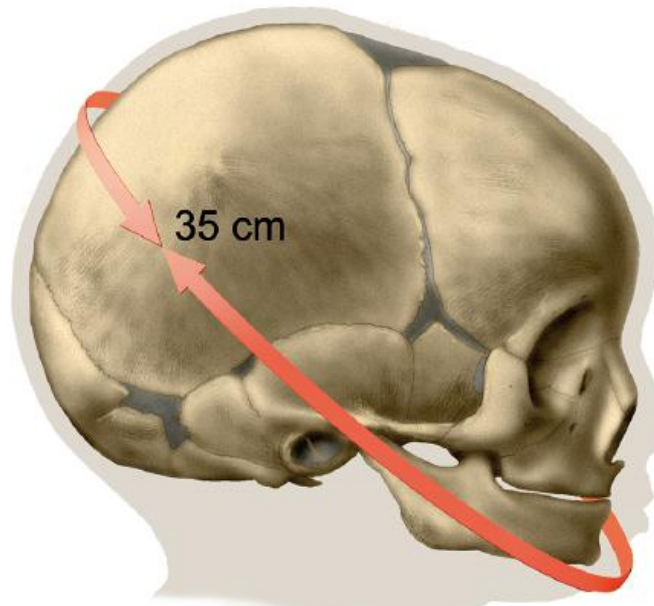
D

Typy pávní u ženy:

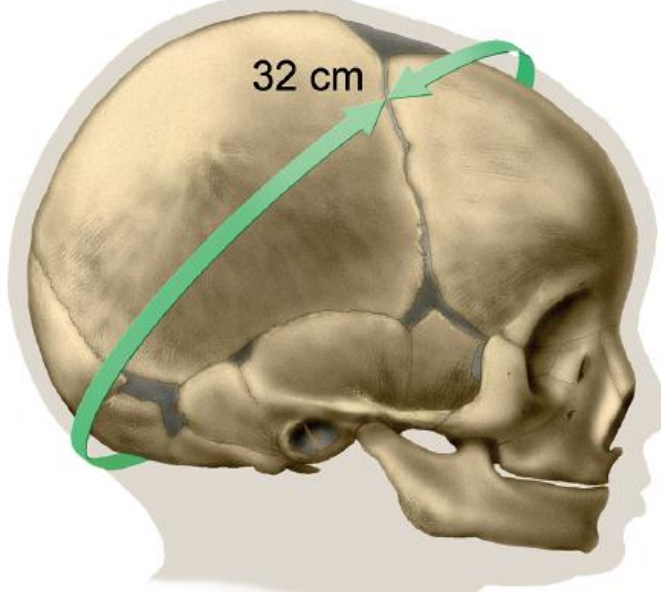
- A. **Gynoidní typ** (výskyt 40%) je typicky ženský se zaobleným předním i zadním segmentem.
- B. **Androidní typ** (výskyt 30%) má úzký přední segment a klínovitý aditus pelvis.
- C. **Anthropoidní typ** (výskyt 20%). Aditus pelvis má tvar úzkého dlouhého oválu.
- D. **Platypeloidní typ** (výskyt 3%). Aditus pelvis má plochý příčně oválný tvar.



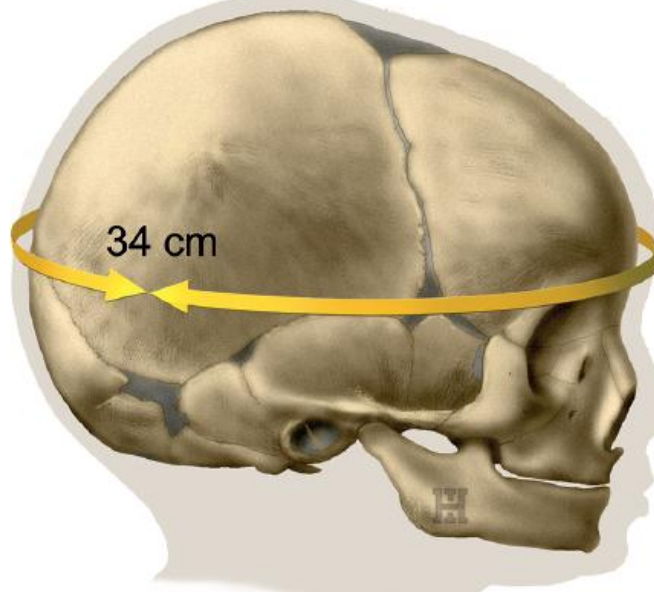
circumferentia submentobregmatica 32 cm



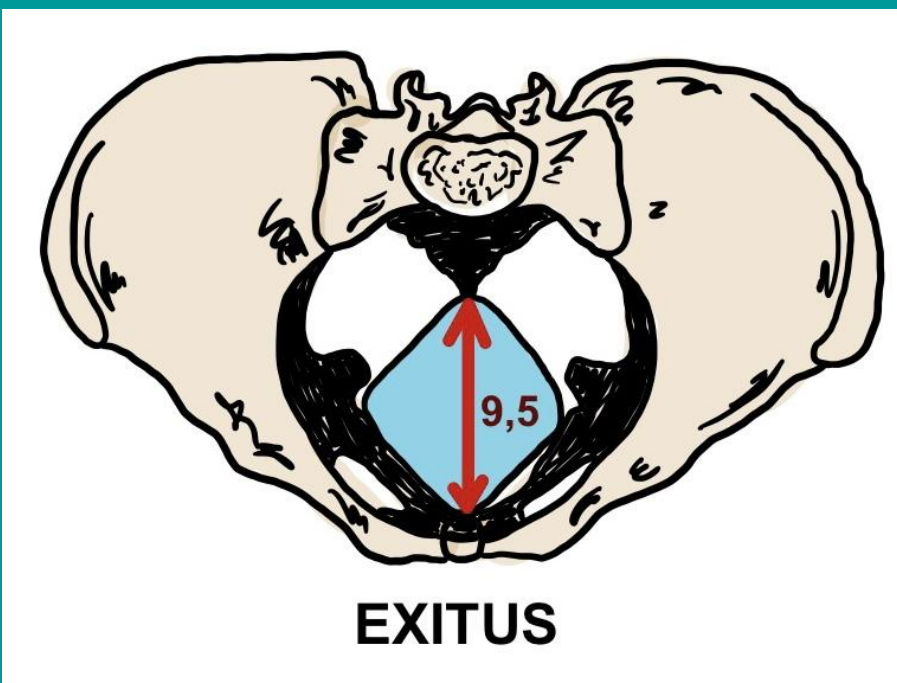
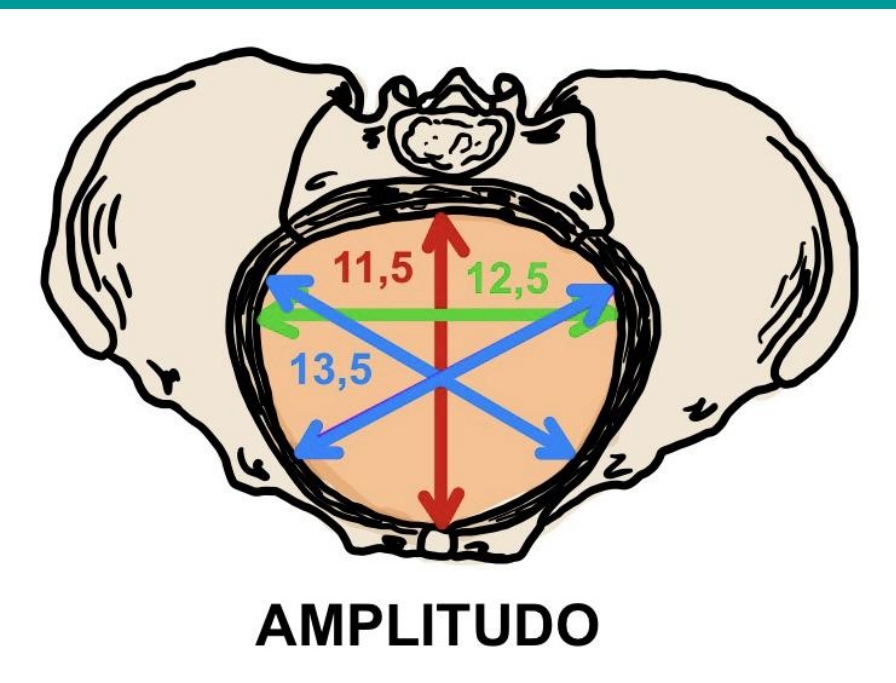
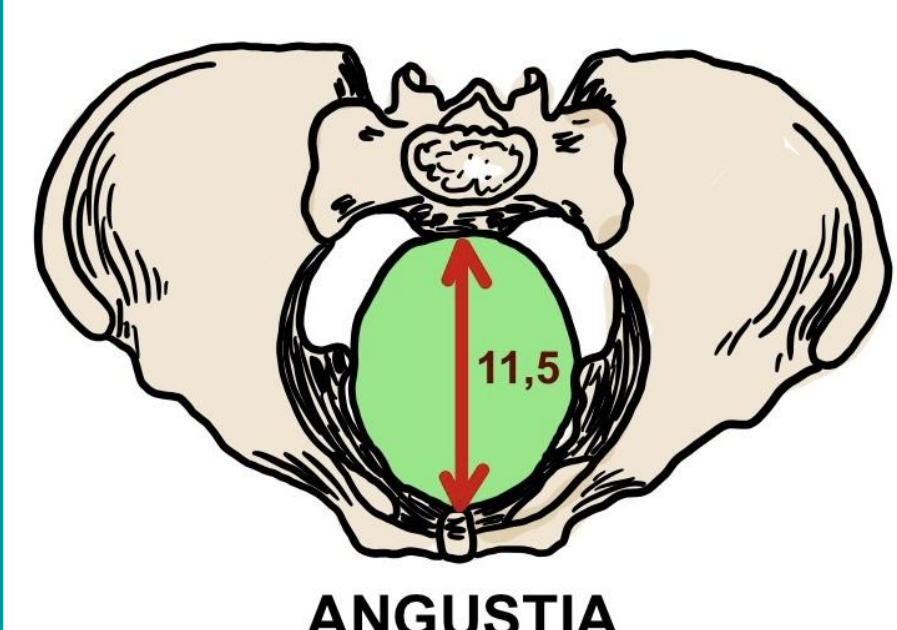
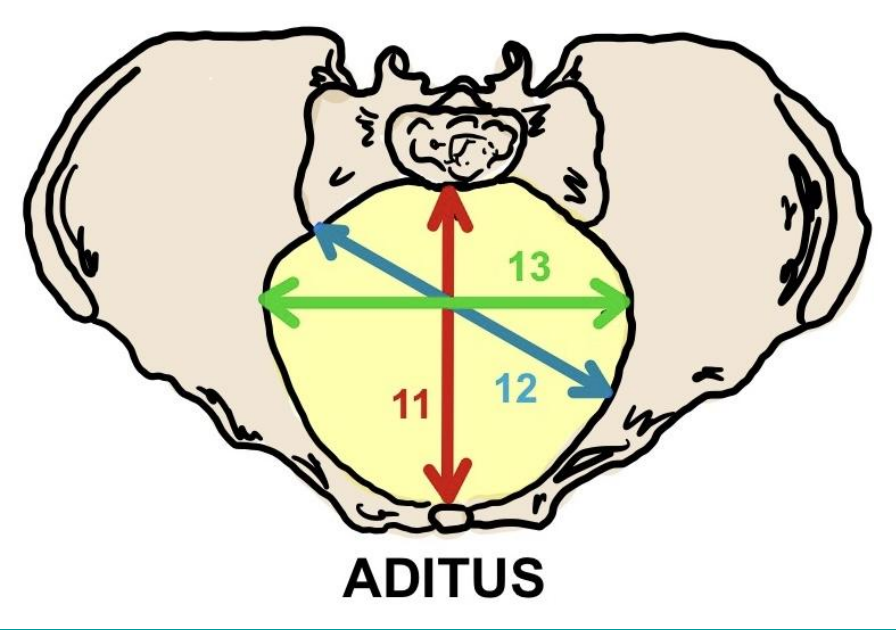
circumferentia mentooccipitalis 35 cm

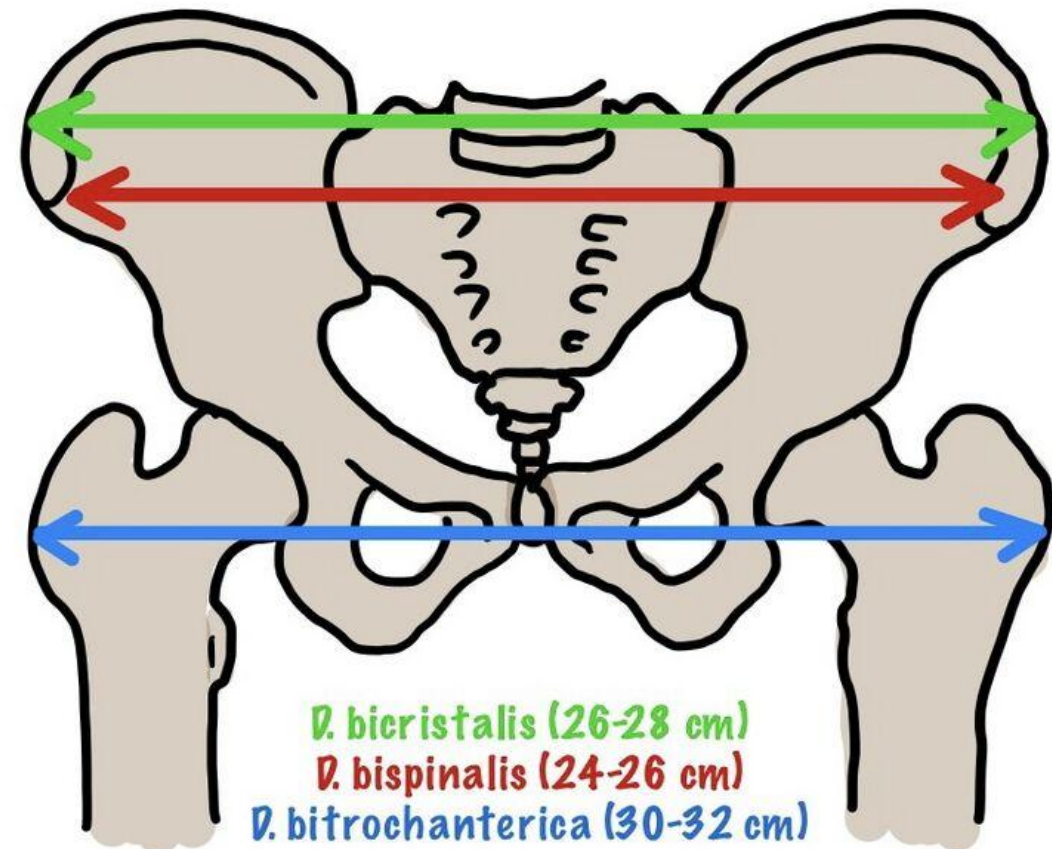


circumferentia suboccipitobregmatica 32 cm



circumferentia frontooccipitalis 34 cm

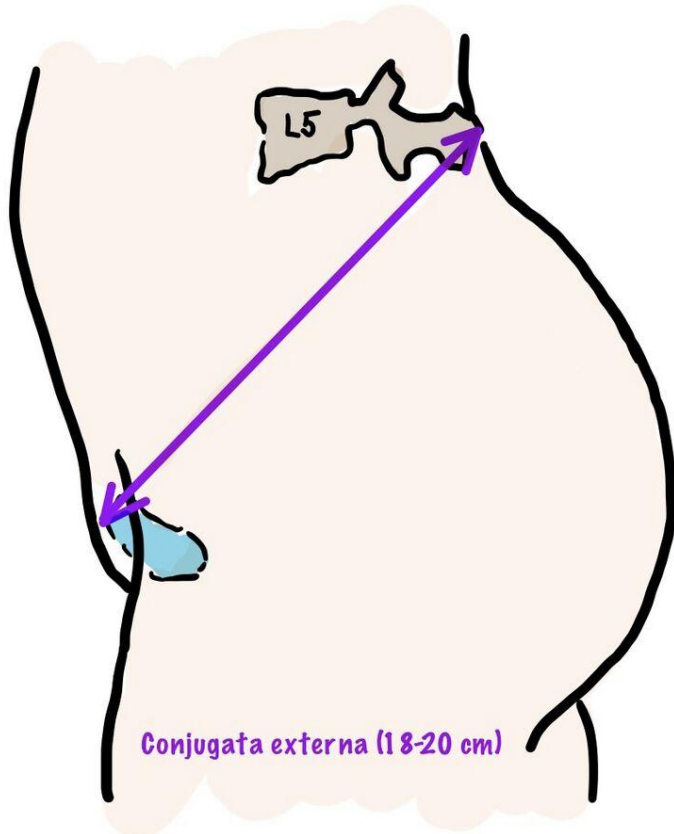


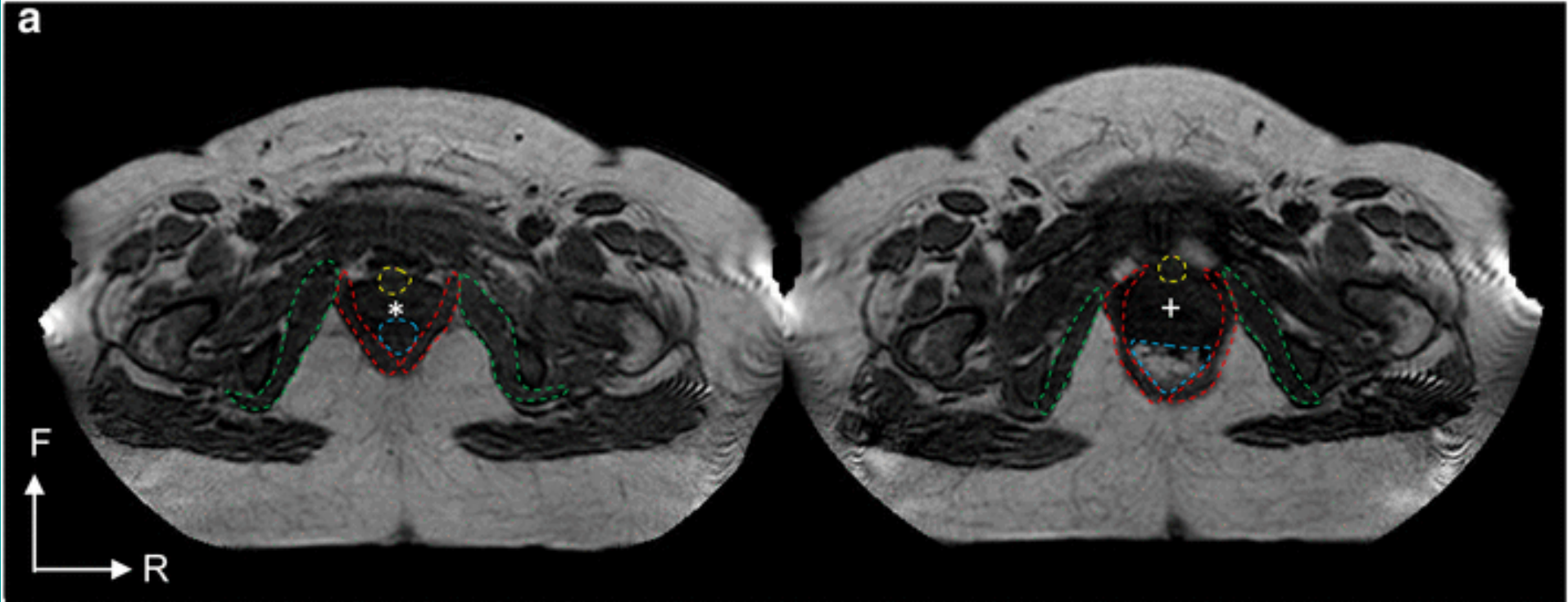


26cm

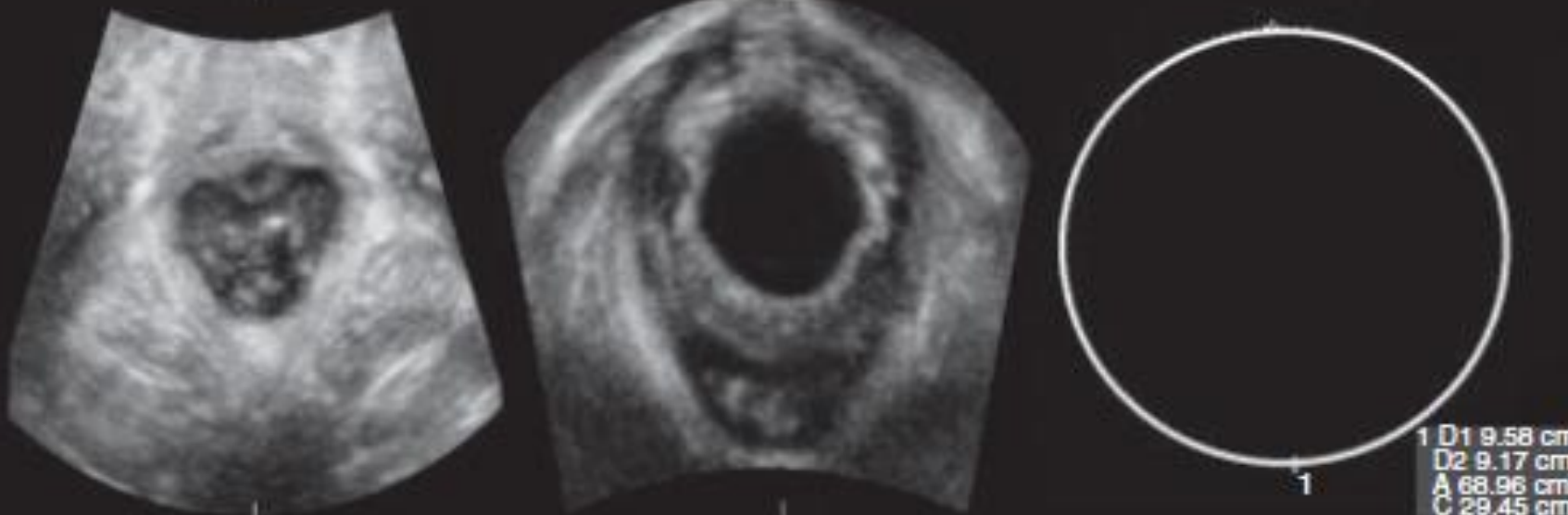
29cm

31cm





Comparative anatomy on 3-D MRI of the urogenital sinus and the periurethral area before and during the second stage of labor during childbirth Apr 2018



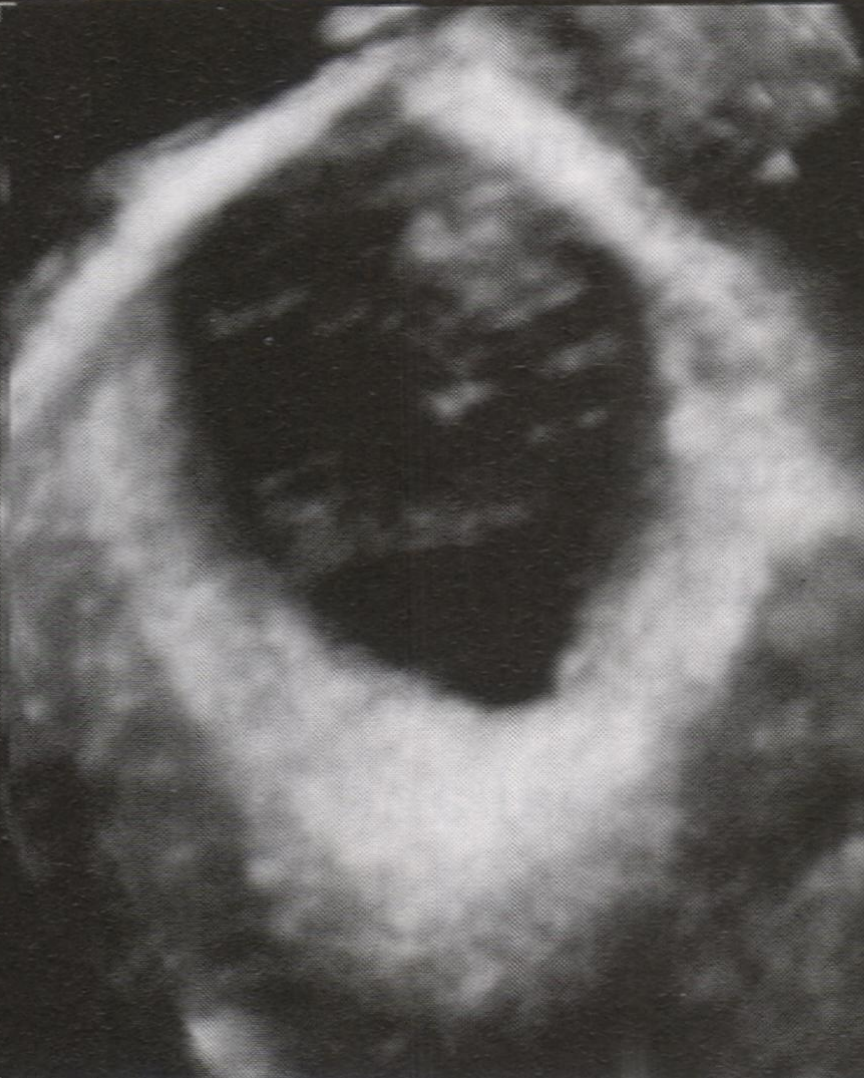
Pacientka s minimálně (vlevo) a maximálně (uprostřed) roztažitelným hiatus urogenitalis (okraj m. puborectalis). Vpravo kontura hlavičky plodu v době porodu.

The ultrasound data sets of 227 nulliparous women examined at 36–38 week's gestation were investigated. Minimal hiatal diameters were measured at rest, on Valsalva and pelvic Floor muscle contraction: some women will have to distend only 25%, others by 245%.

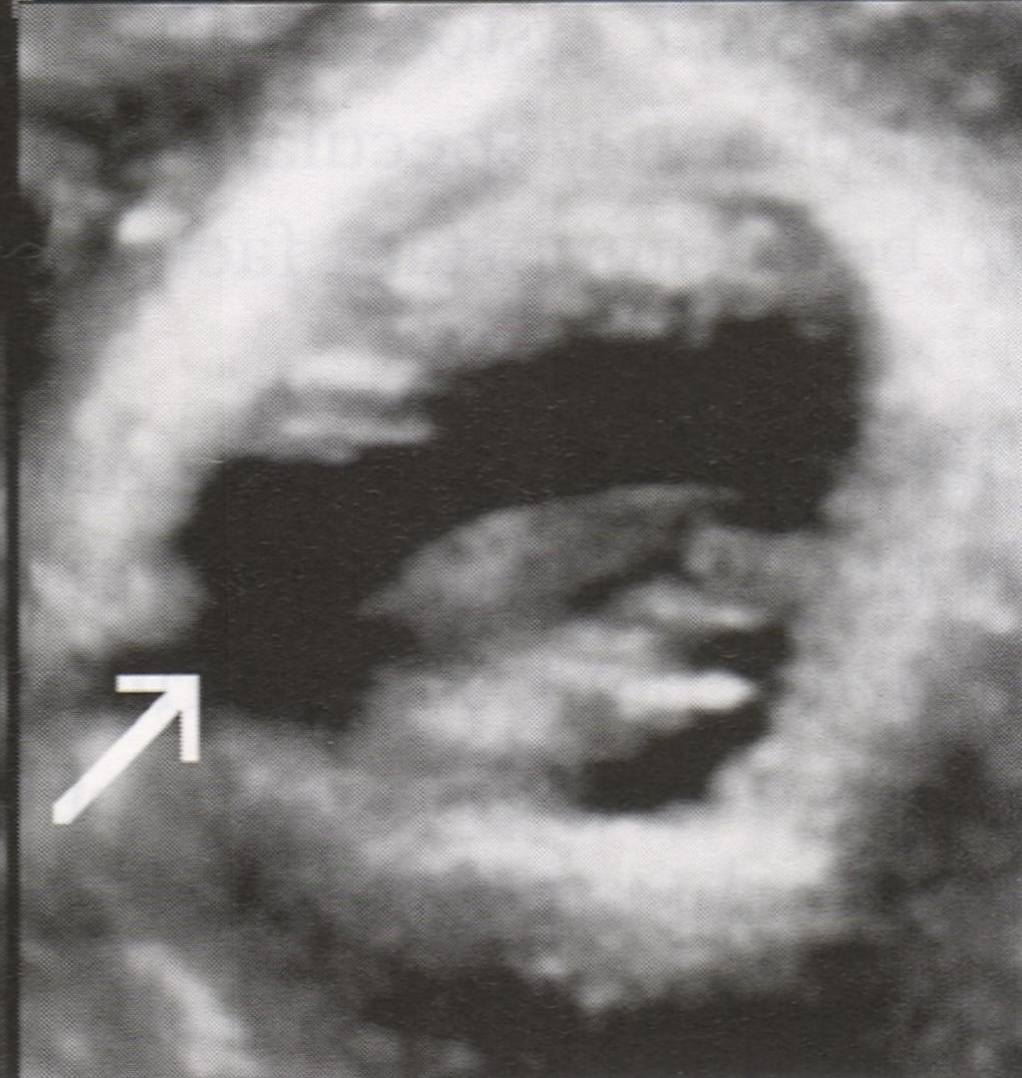
Since childbirth-related trauma to the levator ani is common and clinically important, one should consider potential preventative measures. One approach would be to avoid vaginal delivery by performing elective Caesarean Section.

(Svabik K, Shek K, Dietz H. How much does the levator hiatus have to stretch during childbirth? BJOG 2009;116:1657–1662.)

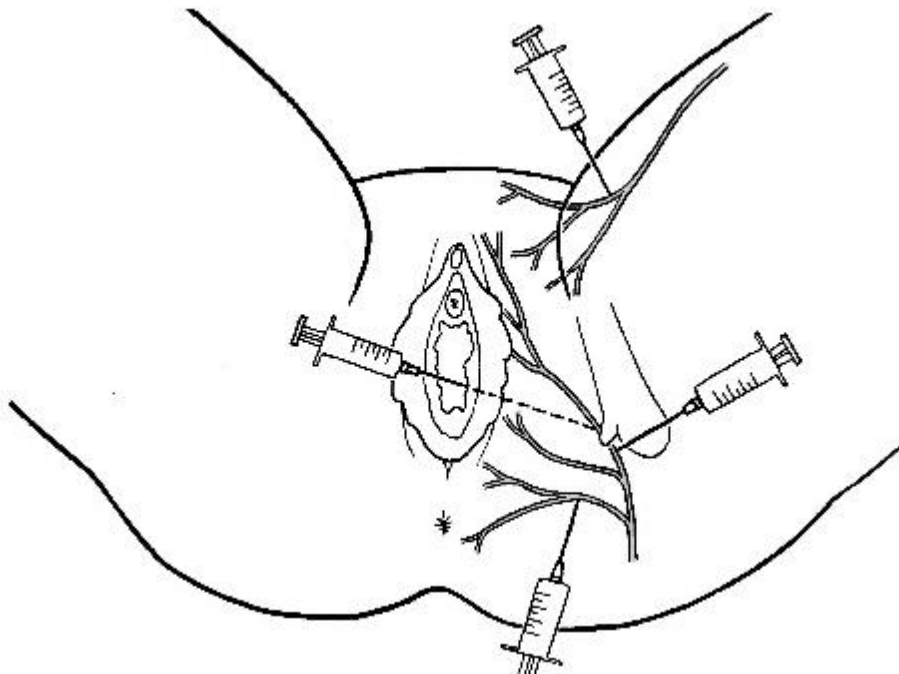
MRI picture of levator ani muscle



Normal condition



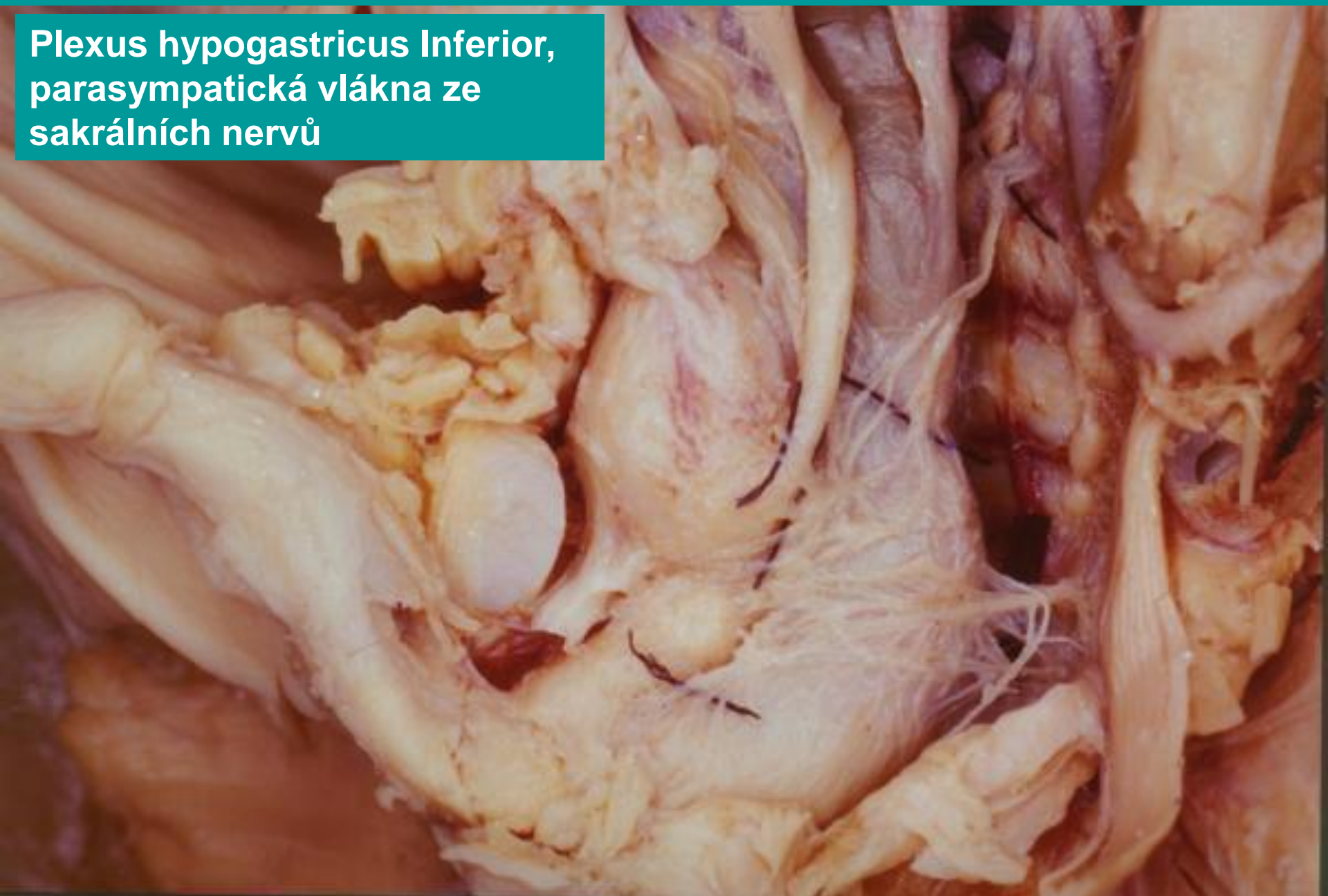
Avulsion after childbirth



n. ilioinguinalis

n. pudendus

Plexus hypogastricus Inferior,
parasympatická vlákna ze
sakrálních nervů



in vitro fertilizace

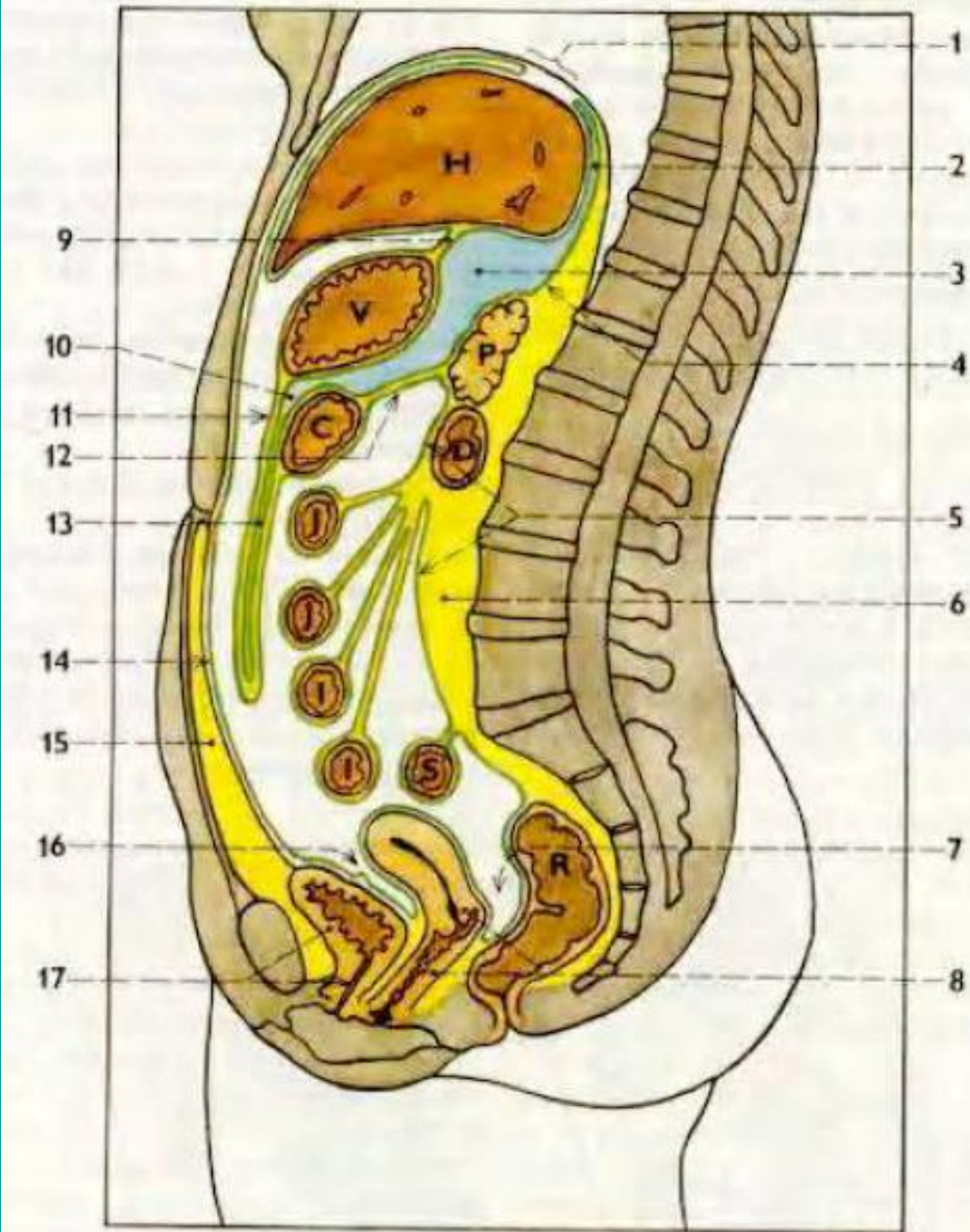
důvody neplodnosti u muže i u ženy

mimodelozní tehotenství

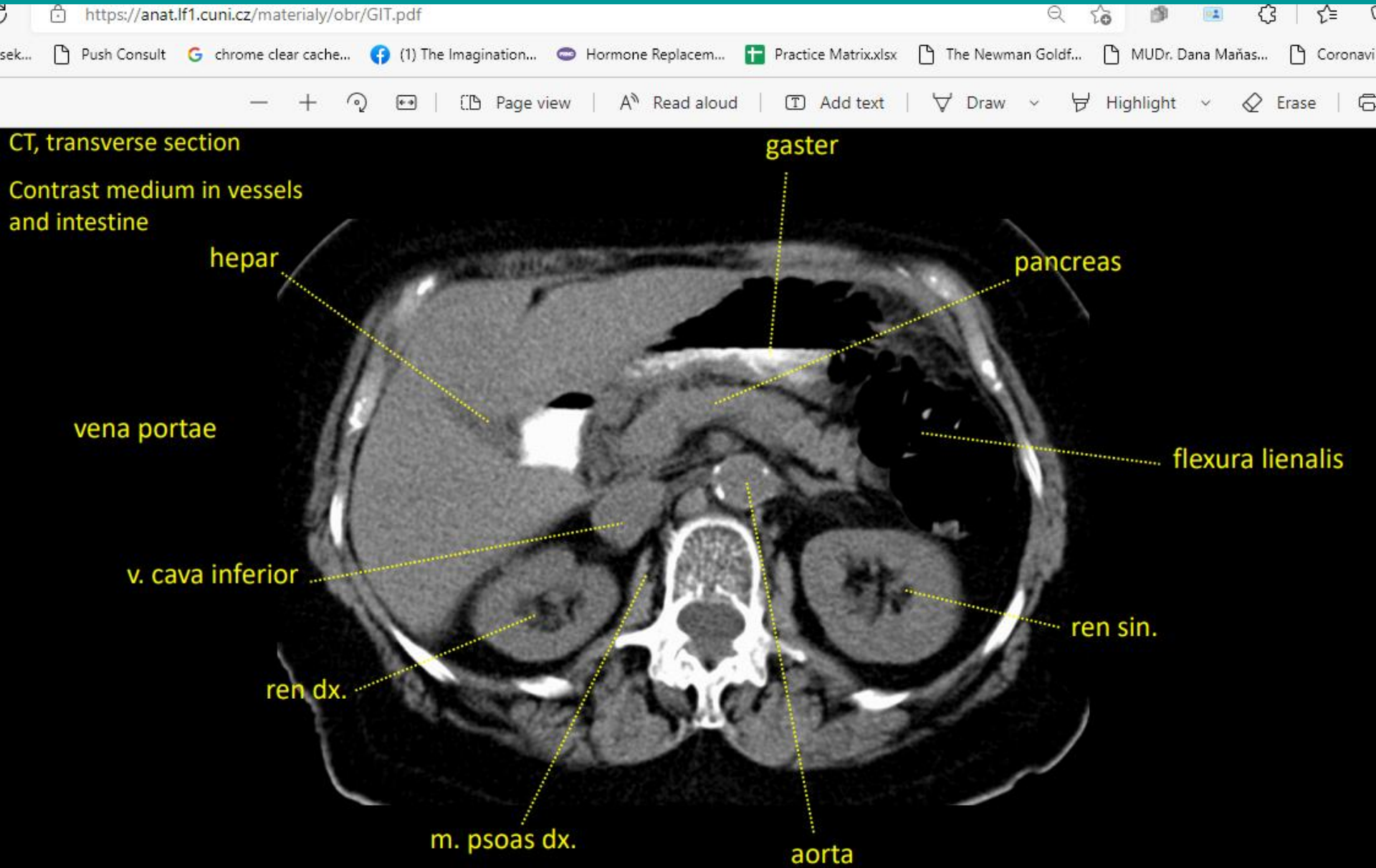
Retroperitoneum

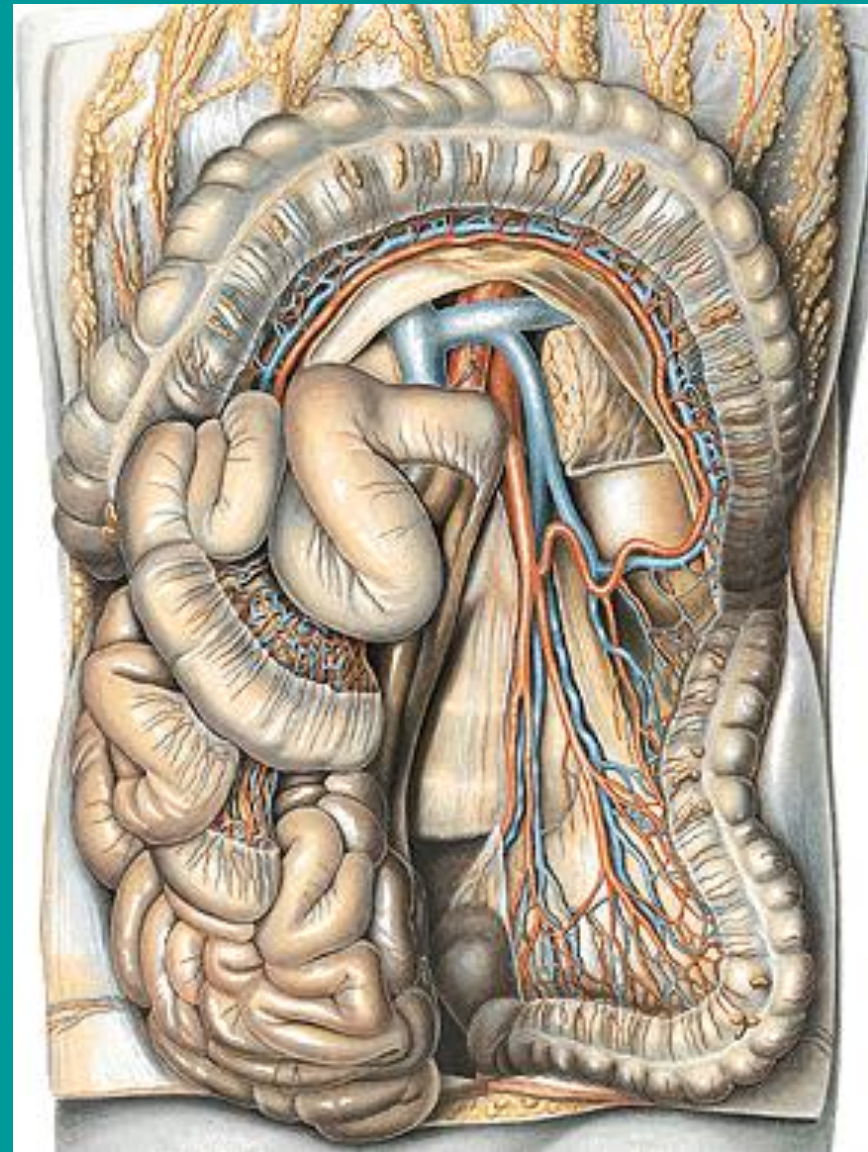
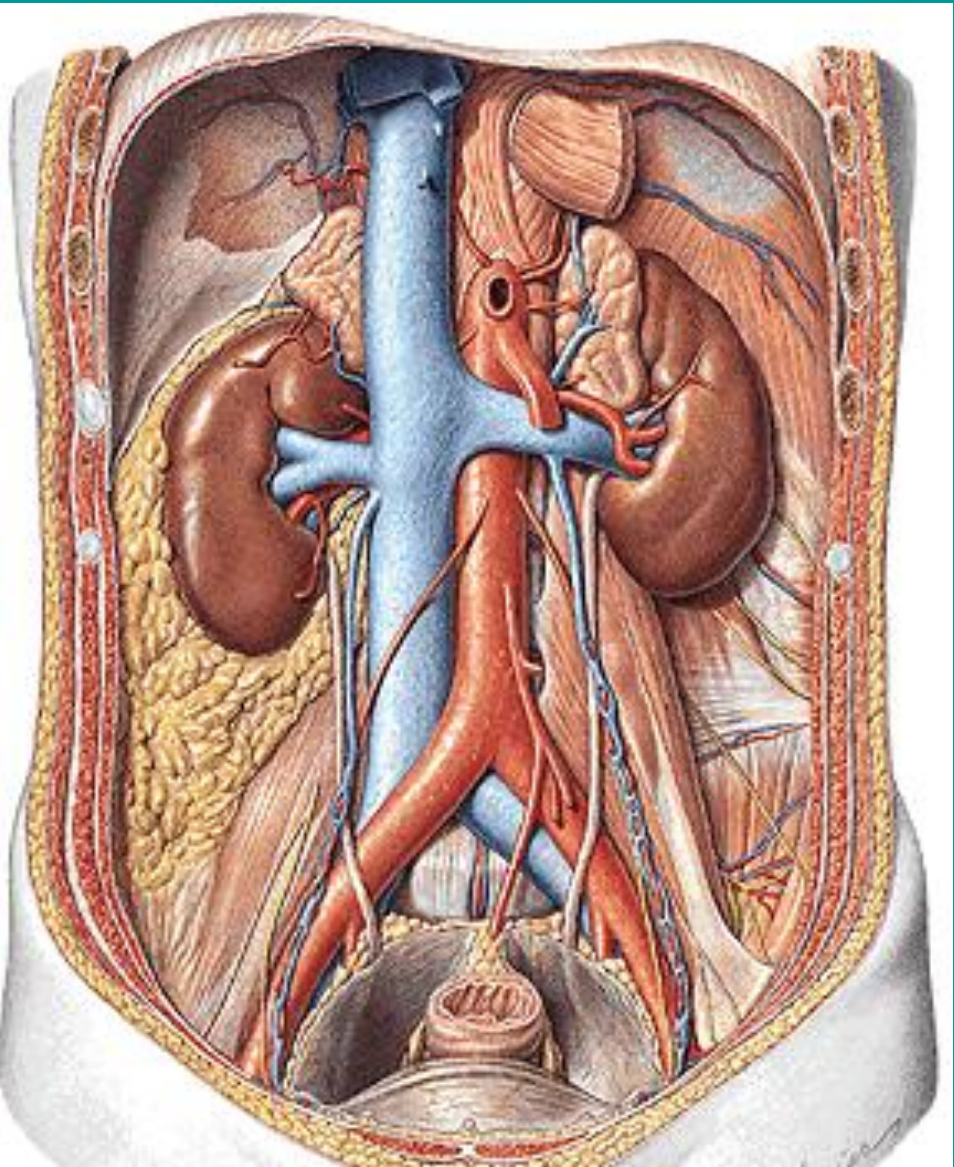
Bránice
Pánev

Peritoneum
Páteř, žebra, svaly



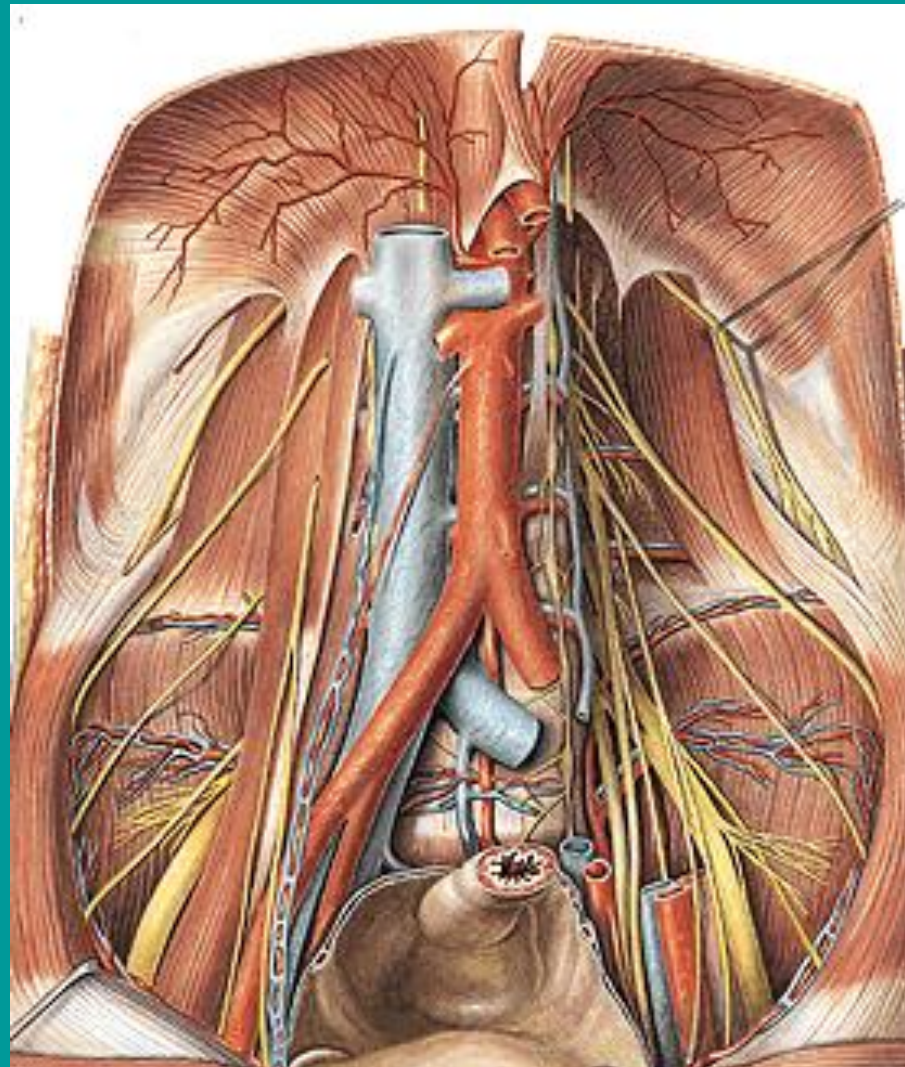
Retroperitoneum





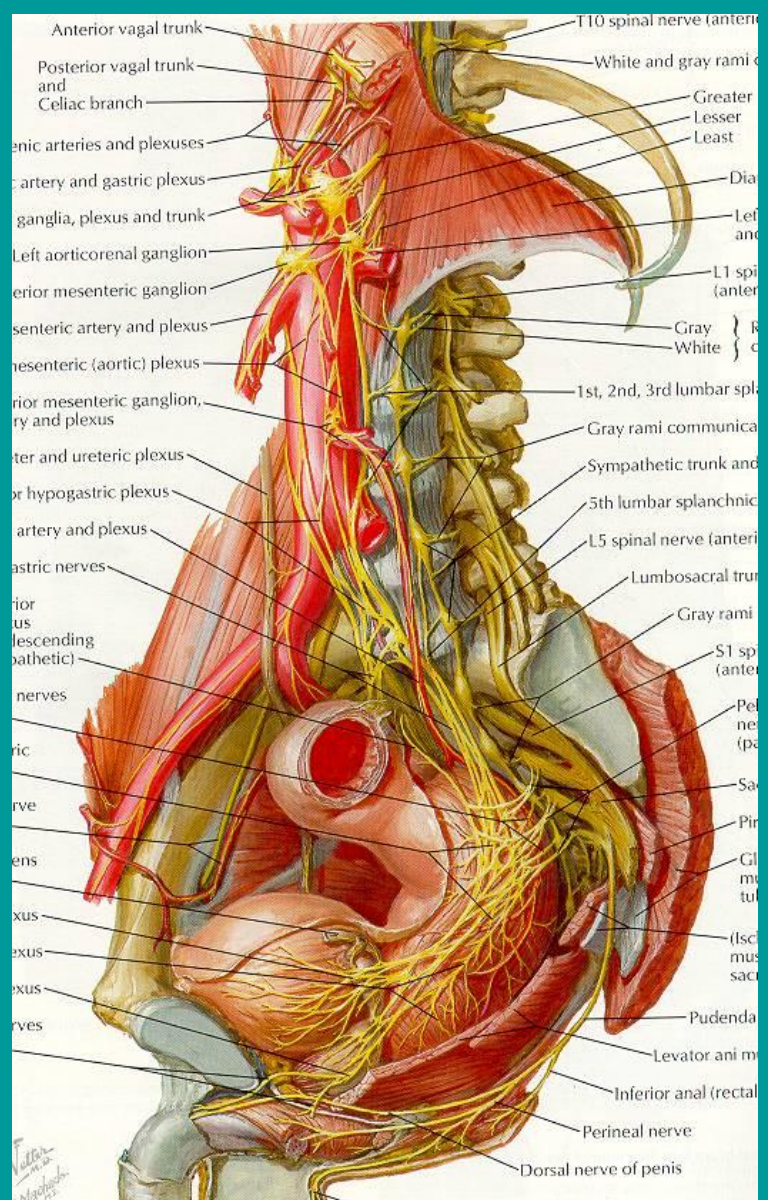
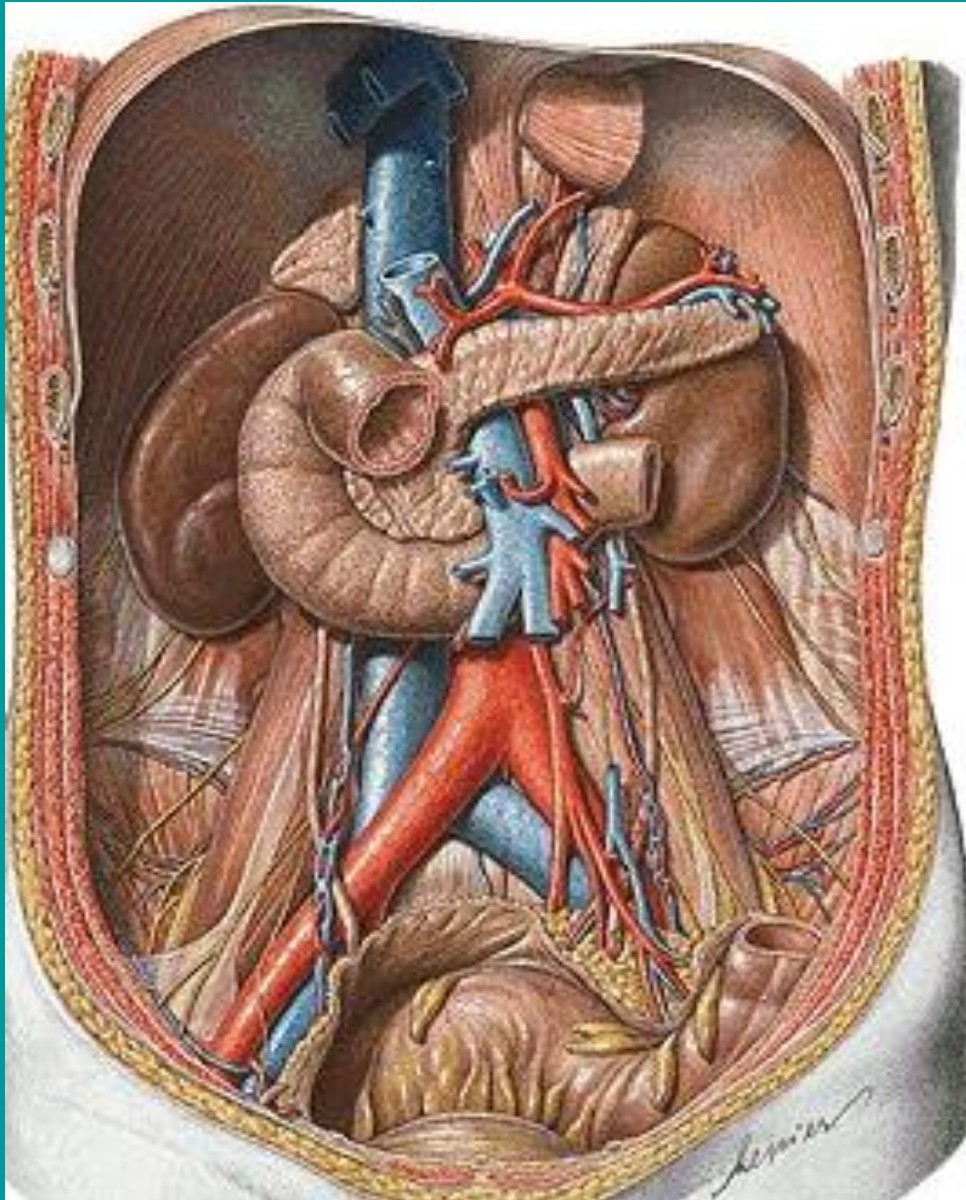
Vena cava inferior, aorta abdominalis, a. mesenterica inferior
Portal circulation vs. inferior v. cava

Nerves of retroperitoneal and subperitoneal spaces

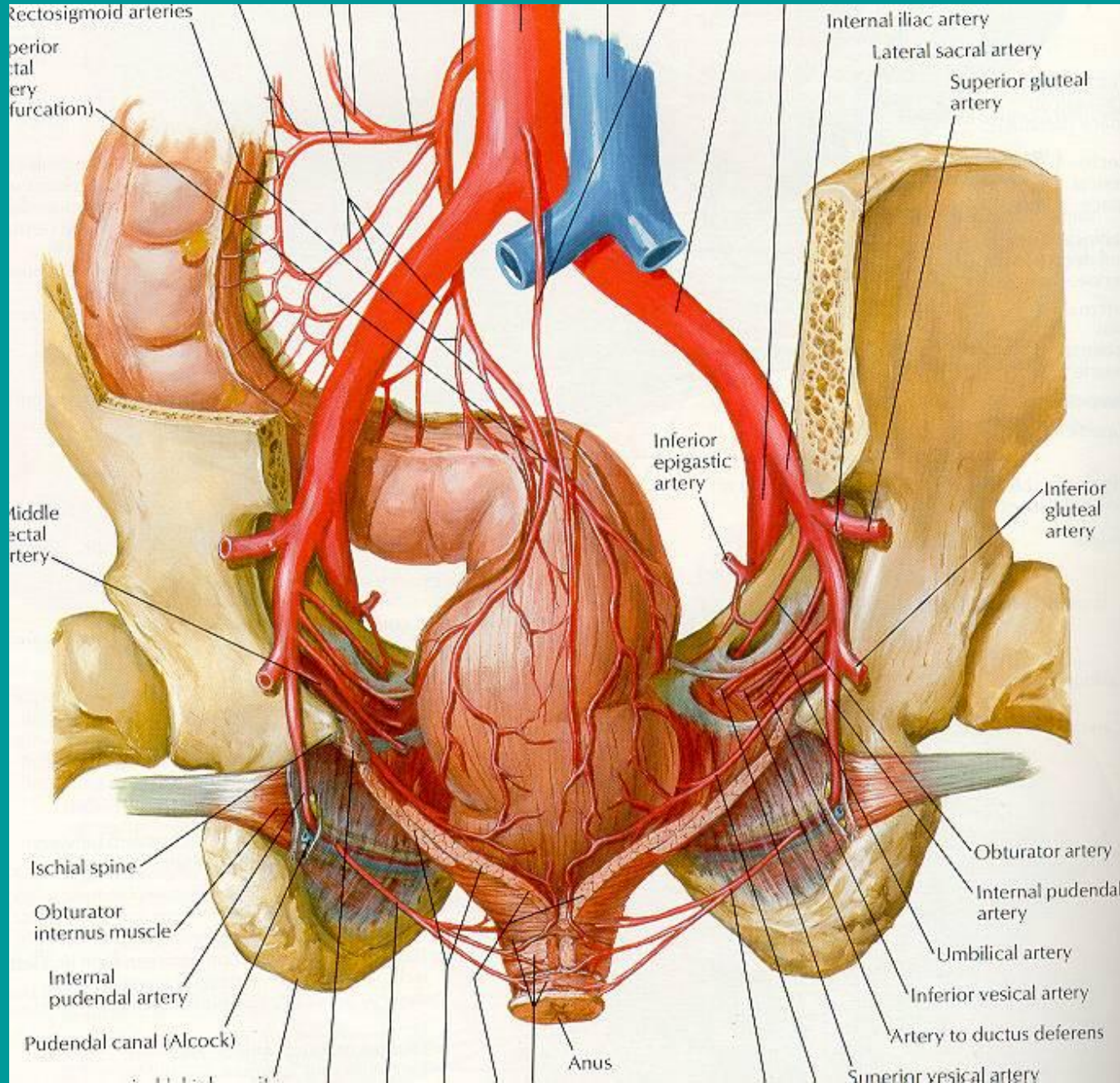


Lumbar and sacral plexuses,
Abdominal and pelvic plexuses and
ganglia of autonomic system

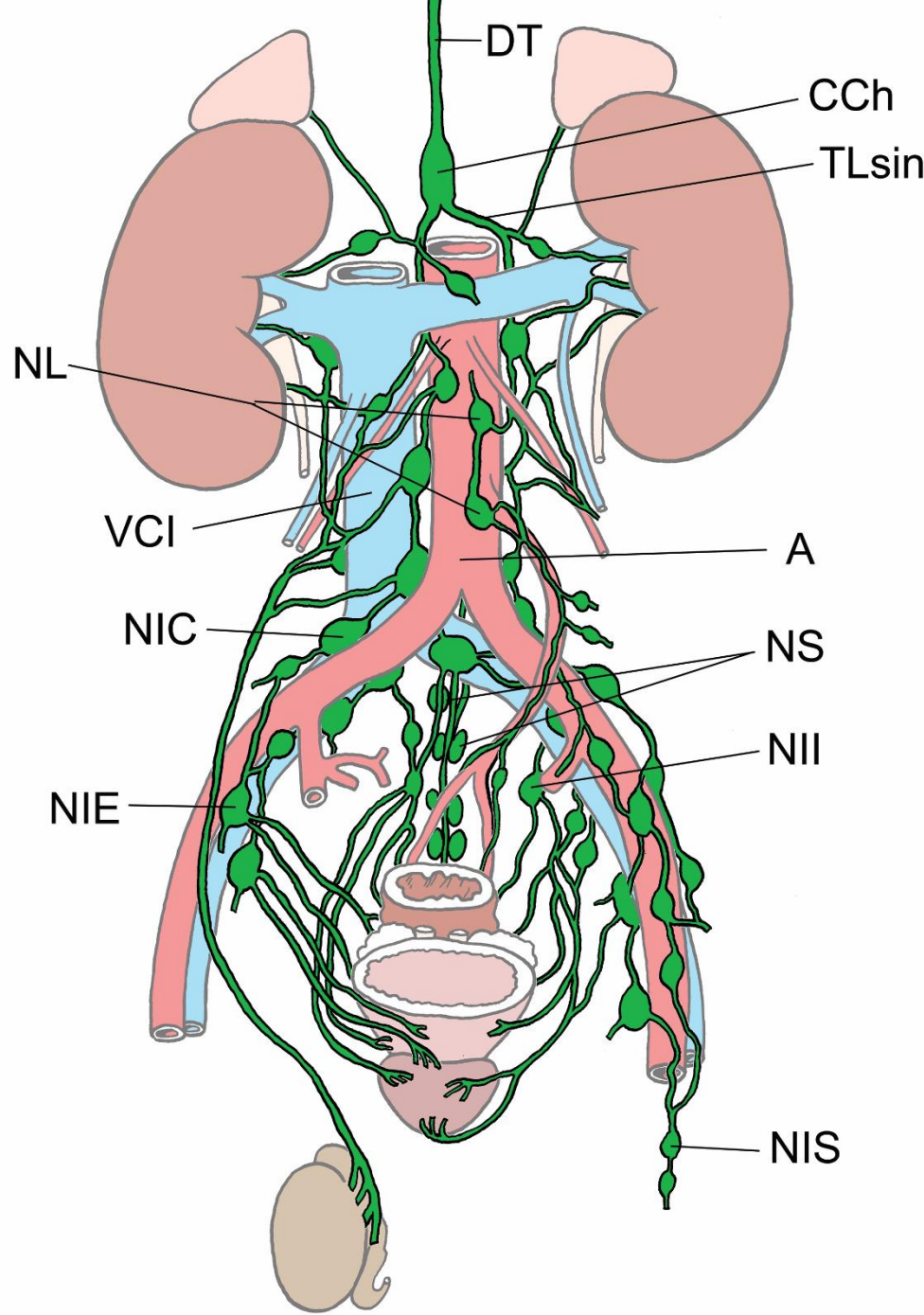
Retroperitoneal space, topography of its organs and main vessels

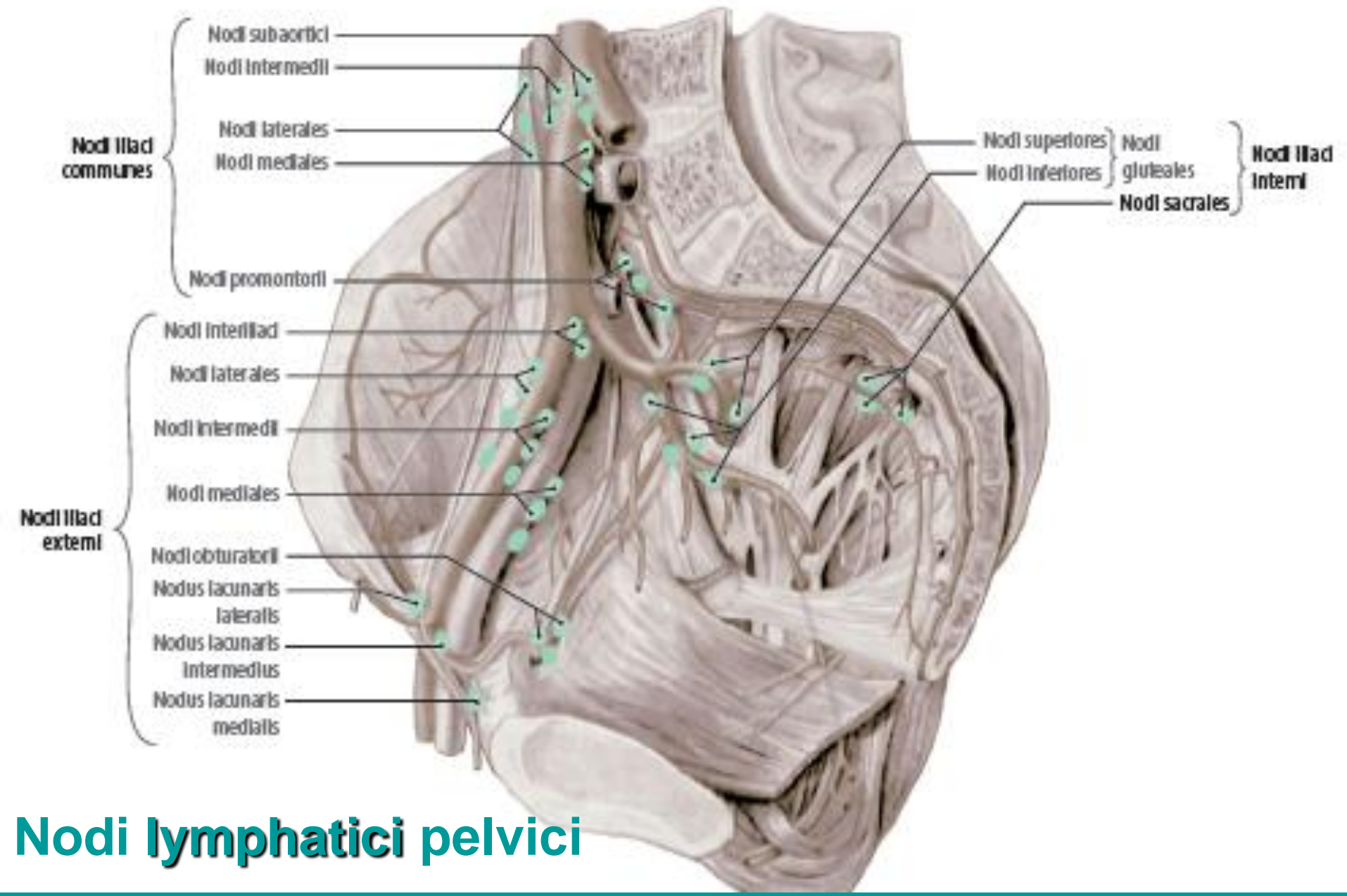


Internal iliac artery, blood vessels of the pelvis

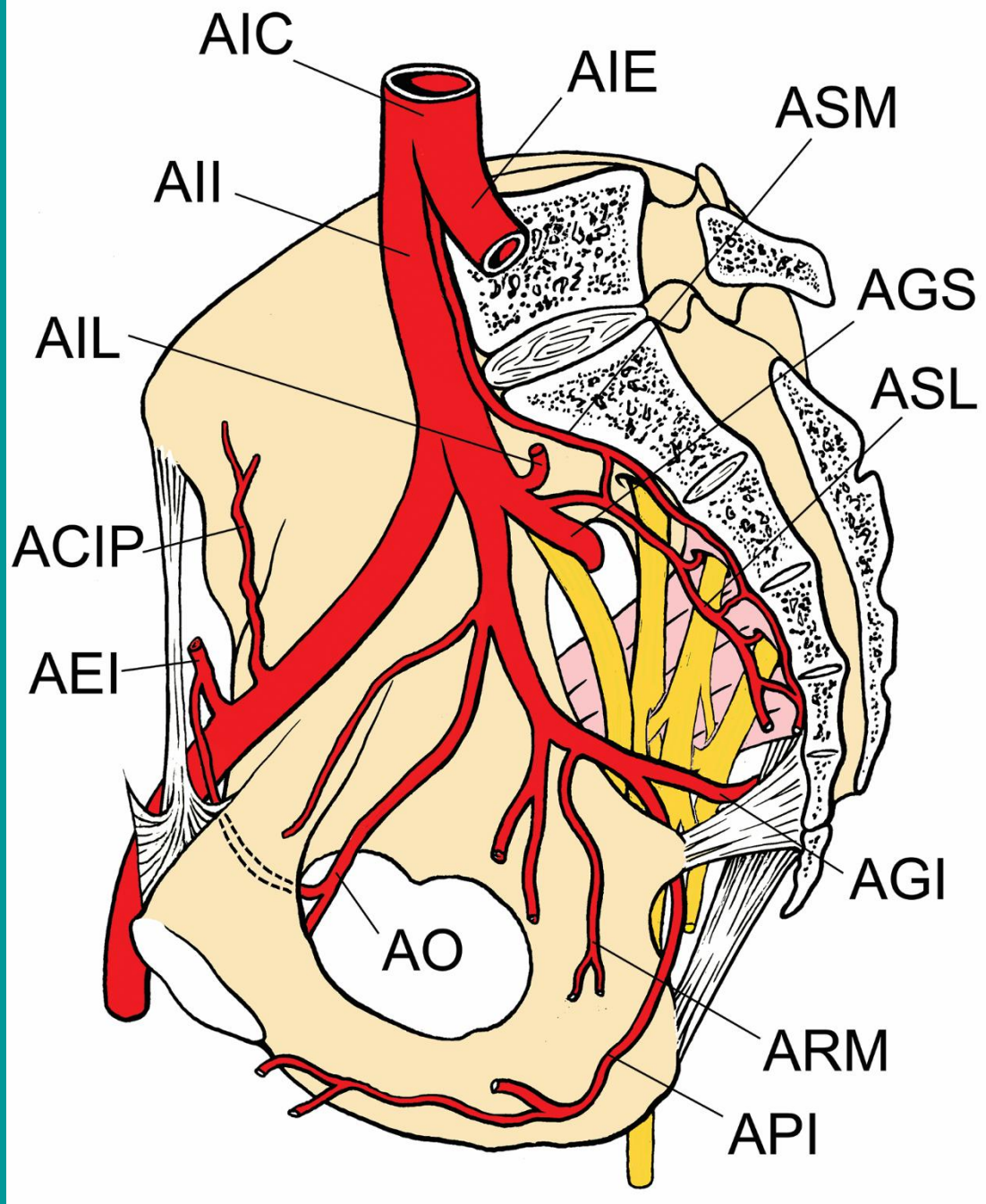


Mízní cévy a uzliny na zadní stěně břišní na stěnách pánve

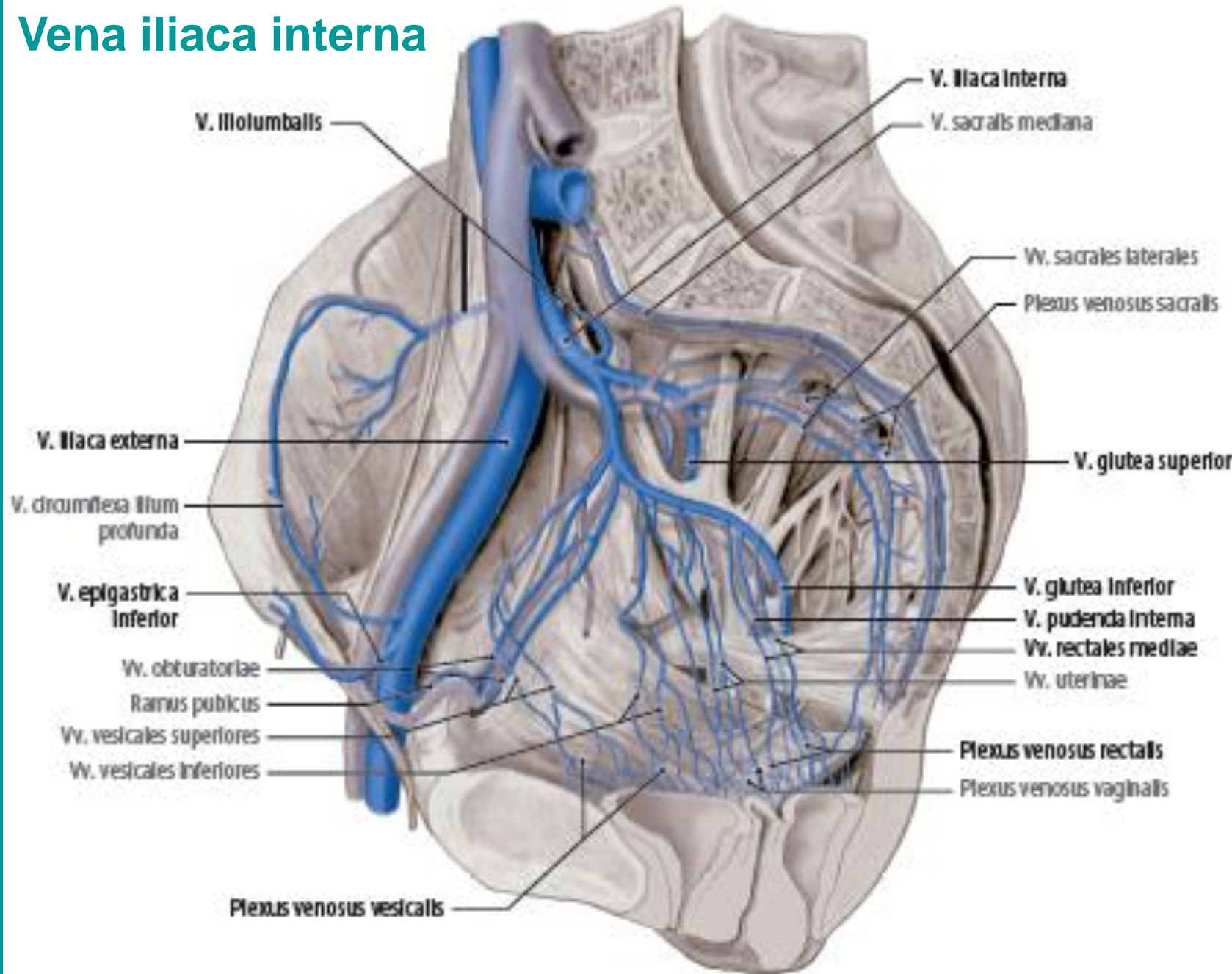




Tepny pánve



Vena iliaca interna



Zdroje ilustrací:

Gray's Anatomy,

Sobottův atlas anatomie člověka, Grada, 2007

Grim, Druga: Základy anatomie, 5. díl

Benninghoff, Drenckhahn: Anatomie I., II.

Carlson,B.M.: Human Embryology and Developmental Anatomy, archiv autora

Doporučená literatura:

Čihák R: Anatomie 2, Grada 2002, (3. vydání březen 2013)

Grim, M., Druga, R.et al: *5. Anatomie krajin těla*. Praha, Karolinum, Galén, 2010; *3. Trávicí, dýchací, močopohlavní a endokrinní systém*, Praha, Karolinum, Galén, 2005,

Lüllmann-Rauch R.: Histologie, překlad 3. vydání , Grada 2012

Sadler T. W: Langmanova lékařská embryologie, překlad 10. vydání , Grada 2011,

Junqueira's Basic Histology 12th Edition, 2010